

Max-Planck-Institut für Plasmaphysik

Gehäusekühlung der W7-X Hauptfeldspulen

G. Krainz, F. Schauer

„This IPP-Report has been printed as author's manuscript elaborated under the collaboration between the IPP and EURATOM on the field of plasma physics. All rights reserved.“

„Dieser IPP-Bericht ist als Manuskript des Autors gedruckt. Die Arbeit entstand im Rahmen der Zusammenarbeit zwischen dem IPP und EURATOM auf dem Gebiete der Plasmaphysik. Alle Rechte vorbehalten.“

INHALTSVERZEICHNIS

Summary	1
Zusammenfassung	3
1 Einleitung	5
2 Berechnungsverfahren zur Spulenabkühlung	6
2.1 FE-Simulation	6
2.1.1 Modellierung des Kupferschildes	6
2.1.1.1 Abkühlung eines Verbundstabes	6
2.1.1.2 Bestimmung des Wärmeüberganges von Kupfer auf Stahl	9
2.1.2 Modellierung der Spule	12
2.1.3 FE-Berechnung	14
2.1.4 Ergebnisse der FE-Berechnung	16
2.1.5 Druckabfall im Kühlleiter	25
2.2 Eindimensionale Rechnung	26
2.3 Wärmeübergang vom Kupferschild zum Kühlhelium	30
3 Stationäre Kühlung des Spulengehäuses	37
4 Materialdaten	40
5 Literaturverzeichnis	43
6 Anhang	44
6.1 Programmierung des FE-Modells	44
6.2 Programmierung der FE-Simulation	55

Summary

Cooling of the housings for the W7-X main field coils (MF coils) during cool-down and steady-state operation is investigated.

The stainless steel coil housings are completely covered by copper sheet segments which are fixed to the surface by spot welding. A stainless steel cooling tube is soldered to this sheathing via suitable copper profile blocks on top of the outer housing circumference.

Essentially, the cool-down of the coils including the adjoining structure is performed via the housings since the flow resistance of the cable-in-conduit-conductor would be too high. Moreover, the housing cooling during steady-state operation prevents heat incidence from outside to the coil winding. Conductor cooling is primarily used to stabilize the superconductor and to remove heat from inside the cable.

The cool-down calculation does not take into account the cable cooling, and the investigation into steady-state operation ignores the heat exchange between coil and housing. While actually running W7-X in steady-state, the heat transfer can, in principle, be adjusted in both directions. However, it makes sense only to improve the superconductor cooling via the housing, if necessary at all.

At first the cool-down characteristics of a stainless steel plate, covered by spot-welded copper sheet, is simulated using the FE-program ANSYS. Cooling is performed from the copper sheet edge. The calculation agrees well with the experiment [3]. Neither the FE-analysis nor the evaluation of the experimental results show much difference in cool-down behaviour between spot-weld and full contact. This result is confirmed by additional FE cool-down simulations for a coil segment with spot-welded and fully contacted copper sheet, respectively. Hence, for further calculations simply copper sheet having overall contact is assumed.

In the next step the coil cool-down is simulated employing ANSYS for three versions of cooling circuits on top of the outer housing circumference, and for varying copper sheet thickness. On condition of a temperature difference ≤ 50 K between the coolant inlet temperature and the warmest spot within the coil, it can be shown that the cool-down takes between 110 and 130 hours. It does not depend much on the cooling circuit nor on the thickness or quality of the copper. From the time-dependent temperature distribution resulting from the FE-analysis, the best spots to place temperature sensors for cool-down control can be derived.

For comparison and validation of the FE-calculation, as well as for rapid parameter variations, simple one-dimensional calculations are performed assuming the heat propagation velocity inside the coil cross section to be infinite. The results are in good agreement with the FE-studies. The simplified method permits time-saving calculations of various cooling systems, and may easily take into account also the vault support structure masses which are cooled from the housing loops too. For the most unfavourable configuration, the cool-down of a coil including the adjacent structure comes out to last about one week.

A further section describes the detailed study of heat transfer from the copper shield to the cooling helium for different cooling loop versions during cool-down. It turns out that the greatest temperature difference exists between the flowing helium and the cooling tube wall, whereas the differences across the tube wall and the tube support, respectively, are negligible.

Finally, steady state cooling via a single cooling tube along the outer housing circumference is discussed. By applying the conservative assumption of a 4 W heat incidence per coil tube support spot at the inner housing the successive temperature differences between He-inlet and the hottest spot at the inner housing circumference are estimated. In particular, including the adjacent support structure, the successive temperature differences between they appear between the housing inner and outer surfaces along the copper shield, across the tube support copper block, the tube wall, between tube wall and cooling helium, and finally between helium outlet and inlet. The total difference is small enough so that a safe tube support and cooling performance.

Zusammenfassung

Es wird die Gehäusekühlung der W7-X - Hauptfeldspulen (MF-Spulen) sowohl im Abkühl- als auch im Stationärbetrieb untersucht.

Die Gehäusekühlung erfolgt über eine Abdeckung aus Kupferblech, mit der das Kühlrohr aus Stahl über ein passendes Cu-Profil am Außenumfang der Spule verlötet ist. Das Kupferblech ist durch Punktschweißen mit dem Stahlgehäuse mechanisch und thermisch verbunden.

Wegen des hohen Strömungswiderstandes der intern gekühlten Supraleiterkabel erfolgt die Abkühlung der Spulen sowie der angrenzenden Teile der Gewölbestruktur im wesentlichen über die Gehäusekühlung. Diese verhindert im Stationärbetrieb auch die Wärmezufuhr von außen zur Spulenwicklung. Die Leiterkühlung dient in erster Linie zur Stabilisierung des Supraleiters und Abfuhr von Verlusten innerhalb des Kabels.

Bei den Abkühlungsrechnungen wird die Leiterkühlung und bei der Berechnung des Stationärbetriebes der Wärmeaustausch zwischen Wickelpaket und Gehäuse nicht berücksichtigt. Im späteren W7-X - Stationärbetrieb kann mit Wärmeübergang in beiden Richtung gefahren werden, wobei es, wenn überhaupt notwendig, nur sinnvoll ist, den Wickelkörper vom Gehäuse her mitzukühlen.

Zuerst wird mit Hilfe des FE-Programmes ANSYS der Abkühlverlauf einer Stahlplatte mit einem darauf punktgeschweißten Cu-Blech simuliert, wobei die Kühlung vom Rand des Kupferbleches her erfolgt. Die Rechnung stimmt gut mit dem Experiment [3] überein. Sowohl die FE-Analyse als auch die Auswertung der experimentellen Ergebnisse ergeben kaum Unterschiede in der Abkühlzeit des wärmsten Punktes zwischen punktgeschweißter und vollflächiger thermischer Kontaktierung von Stahlplatte und Cu-Blech. Dies wird weitgehend bestätigt durch die zusätzliche FE-Untersuchung eines Spulenausschnittes mit punktgeschweißtem bzw. vollflächig kontaktiertem Cu-Schild. Für die weiteren Untersuchungen kann somit einfachheitshalber vollflächig kontaktiertes Kupferblech angenommen werden.

Im nächsten Schritt wird die Spulenabkühlung mittels ANSYS für drei unterschiedliche Kühlleiteranordnungen am Außenumfang der Spule simuliert. Zusätzlich wird noch die Auswirkung verschiedener Kupferblechstärken untersucht. Es zeigt sich, daß die Abkühlzeiten unter Einhaltung der Temperaturdifferenz $\Delta T \leq 50$ K zwischen der Kühlhelium-Einlaßtemperatur und dem wärmsten Punkt innerhalb der Spule zwischen 110 und 130 Stunden beträgt und nur wenig von der Kühlmethode und der Dicke bzw. Qualität des Kupfers abhängt. Aus der FE-Analyse folgen auch die Temperaturverteilungen zu verschiedenen Zeiten und somit die günstigsten Meßstellen für eine spätere Temperaturüberwachung des Abkühlvorganges.

Zum Vergleich und zur Absicherung der FE-Berechnungen sowie zur schnellen Parametervariation werden noch einfache eindimensionale Analysen durchgeführt, bei denen die endliche Wärmausbreitungsgeschwindigkeit innerhalb des Spulenquerschnittes nicht berücksichtigt wird. Die Ergebnisse stimmen gut mit denen der FE-Untersuchungen überein. Die einfache Methode erlaubt zeitsparende Berechnungen von unterschiedlichen Gehäusekühlsystemen auch unter Berücksichtigung der Gewölbestruktur, die von der Gehäusekühlung mitgekühlt wird. Als Ergebnis dieser Untersuchungen kommt heraus, daß die Abkühlung einer Spule samt Struktur im ungünstigsten Fall etwa eine Woche dauert.

In einem weiteren Abschnitt wird der Warmliefergang vom Cu-Schild auf das Kühlellium bei verschiedenen Kühlelementen näher untersucht. Es zeigt sich, daß die bei weitem größte Temperaturdifferenz zwischen dem Stromenden Helium und der Kühlrohrwand besteht. Die Differenzen über die Rohrwand und Rohrhalterung sind dagegen vernachlässigbar.

Schließlich wird noch die stationäre Kühlung des Spülengehäuses mit einem einzigen Kühl-

rohr am äußeren Gehäuseumfang diskutiert. Es werden unter der Konserveation Annahme einer Wärmezufuhr von 4 W pro Spülung samt den dazugehörigen Strukturlementen die auftretenden Temperaturdifferenzen zwischen der He-Einlaßtemperatur bis zum warmen Punkt am Cu-Schild auf der Gehäuseminseite abgeschätzt. Im einzelnen ergaben sich Temperaturen der Kühlung, der Rohrwand, zwischen der Gehäuseminseite und -außenseite entlang des Cu-Schildes, an der Rohrhalterung, der Rohrwand, zwischen Rohrwand und Kühlhelium sowie zwischen dem Heliumtrock- und -vorrat. Die Gesamtunterschiede blieben ausreichend klein, so daß mit der vorgeesehenen Kühlanordnung und der geplanten Kühlentnahme die maximal erlaubten Temperaturen für eine sichere Kühlung der Supraleiterkabel eingehalten werden können.

1 Einleitung

Die supraleitenden Spulen des Stellarators WENDELSTEIN 7-X werden bei einer Temperatur von etwa 4 K betrieben. Spulen, Spulengehäuse und Stützstruktur müssen vor ihrer Inbetriebnahme auf die Betriebstemperatur abgekühlt und dann auf dieser gehalten werden. Wegen des geringen Strömungsquerschnittes des innengekühlten Supraleiterkabels und des damit verbundenen hohen Druckabfalles im Kabel ist es nicht möglich, das Spulengehäuse durch das Supraleiterkabel von Raumtemperatur aus abzukühlen. Es ist eine Kühlung des Spulengehäuses durch einen zusätzlichen Kühlleiter entlang des Spulengehäuseumfangs erforderlich. Diese Gehäusekühlung übernimmt den Hauptanteil bei der Abkühlung der gesamten Spule samt dazugehöriger Stützstruktur und verhindert im Stationärbetrieb die Wärmezufuhr zum Supraleiterkabel von außen. Bei den nachfolgenden Abkühlungsrechnungen für die Gesamtspulen wird der geringe Betrag durch die Leiterkühlung vernachlässigt. Die Rechenergebnisse sind daher konservativ.

Um eine homogene Abkühlung über den Spulengehäusequerschnitt zu erreichen, ist das Spulengehäuse mit Kupferblechsegmenten bedeckt [9]. Hinsichtlich der erforderlichen Abkühlzeit sind folgende Varianten der Kühlleiteranordnung zu untersuchen:

- *Einzelkühlleiteranordnung:* Ein durchgehender Kühlleiter führt entlang des Magnetspulenumfanges. Heliumein- und -auslaß befinden sich unmittelbar nebeneinander.
- *Serielle Kühlleiteranordnung:* Je ein Kühlleiter führt entlang des halben Magnetspulenumfanges. Die He-Einspeisung erfolgt an den gegenüberliegenden Seiten der Magnetspule.
- *Antiserielle Kühlleiteranordnung:* Je ein Kühlleiter führt entlang des halben Magnetspulenumfanges. Die He-Einspeisungen befinden sich auf einer Seite der Magnetspule, während sich die He-Auslässe auf der gegenüberliegenden Magnetspulenseite befinden.

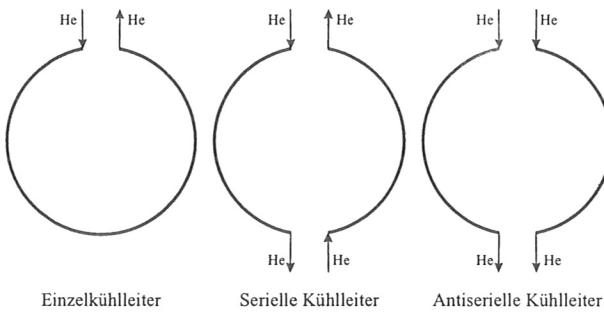


Abbildung 1: Kühlleiteranordnungen für die Spulengehäusekühlung

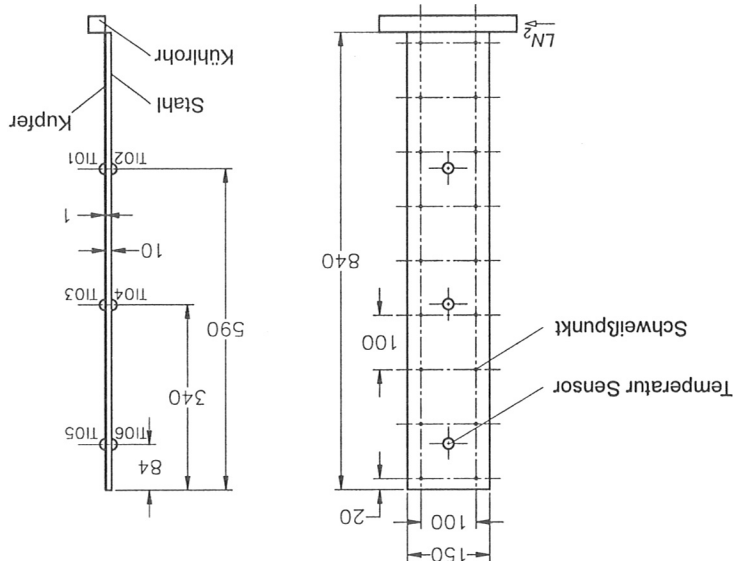
Anhand von transienten FE-Berechnungen der MF-Spulen soll herausgefunden werden, mit welcher Kühlleiterkonfiguration die Magnetspulenkühlung am besten durchzuführen ist. Die Ergebnisse werden mit den Resultaten eines einfachen eindimensionalen Rechenverfahrens verglichen, mit dem dann weitere Parameteruntersuchungen durchgeführt werden.

Für die Simulation des Abkühlvorganges der Verbundplatte genügt die vereinfachte An-
nahme, daß entlang der Kante, an der sich im Experiment das LN₂-Kührlöcher befindet
(siehe Abbildung 2), stets eine Temperatur von 80 K herrscht. Ebenso wird der Einfluß
der Wärmeabstrahlung auf die Verbundplatte nicht berücksichtigt. Die einzelenen Schweiß-
punkte der Kupfer-Stahlverbundung sind als Quadrate mit Kontaktfächen von $2 \times 2 \text{ mm}^2$

ausgelegt. Die Verbundplatte besteht aus einem Vakuum befindlichen Stahlplatte entsprechend Abbildung 3
samt der Temperatur der im Vakuum konstantem Sticksstoff-Massen durchfließt aus Kupfer mit den Abmessungen $10 \times 14 \text{ mm}^2$. Bei konstanter Sticksstoff-Kührlöcher
Während des Experiments fließt flüssiger Stickstoff durch das rechteckförmige Kührlöcher
Schweißpunkt sind im Abstand von 100 mm angeordnet.
Kupferblech. Das Restwiderstandswiderstand von Kupfer beträgt etwa $R_R = 25$. Die

Die Verbundplatte in Abbildung 2 besteht aus einer Stahlplatte mit aufgeschweißtem
flüssigem Stickstoff

Abbildung 2: Abmessungen der Kupfer-Stahl-Verbundplatte für den Abkühlversuch mit



Die Firma LINDE hat den experimentellen Nachweis geführt, daß Punktschweißverbindun-
gen zwischen Kupferblech und Stahl austreichen, um einen Stahlblock von Raumtem-
peratur auf etwa 80 K abzukühlen [3].

Die Materialien der in der Magnetspule verwendeten Werkstoffe sind nichtline-
ar abhängig von der Temperatur und müssen bei der Erstellung des Simulations-Modells
berücksichtigt werden. Daten aus Detailsimulationen und Experimenten sind erforder-
lich, um das FE-Modell für eine transiente Berechnung der Spulenabkühlung zu generie-
ren.

2.1.1.1 Abkühlung eines Verbundstabes

2.1.1 Modellierung des Kupferschmiedes

2.1 FE-Simulation

2 Berechnungsv erfahren zur Spulenabkühlung

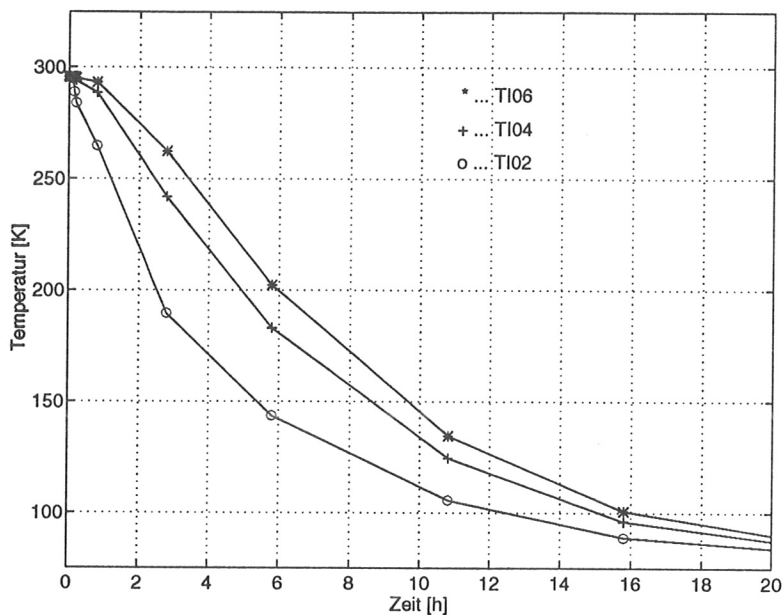


Abbildung 3: Experimentell bestimmter Temperaturverlauf auf der Stahlseite der Verbundplatte im Bereich der Sensoren TI02, TI04 und TI06

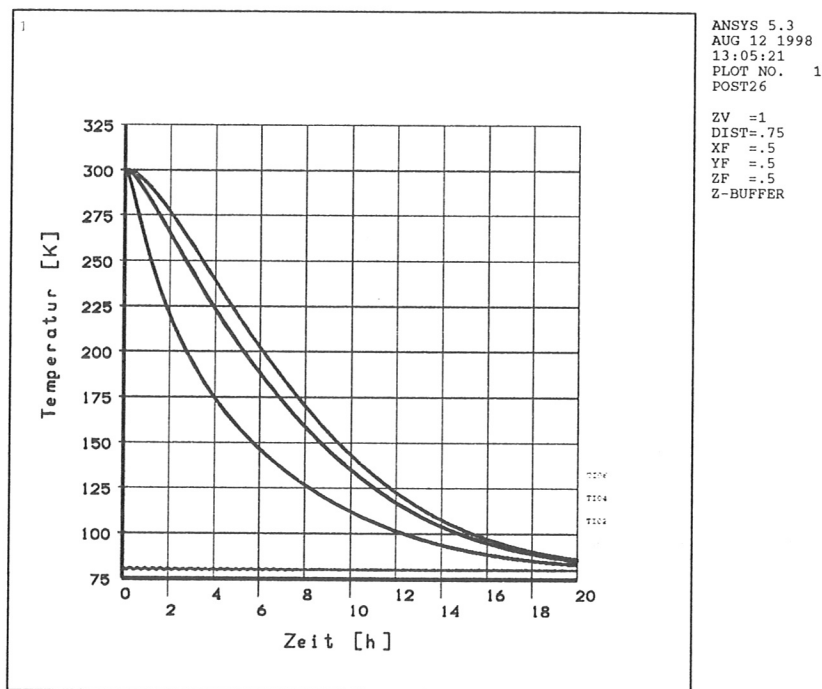


Abbildung 4: Simulierter Temperaturverlauf auf der Stahlseite der Verbundplatte im Bereich der Sensoren TI02, TI04 und TI06

Abbildung 6: Simulierte Temperaturprofil entlang der Verbindplatte nach einer Abkühl-
dauer von 10 Stunden unter Annahme einer idealen Kontaktierung zwischen Kupfer und
Stahl

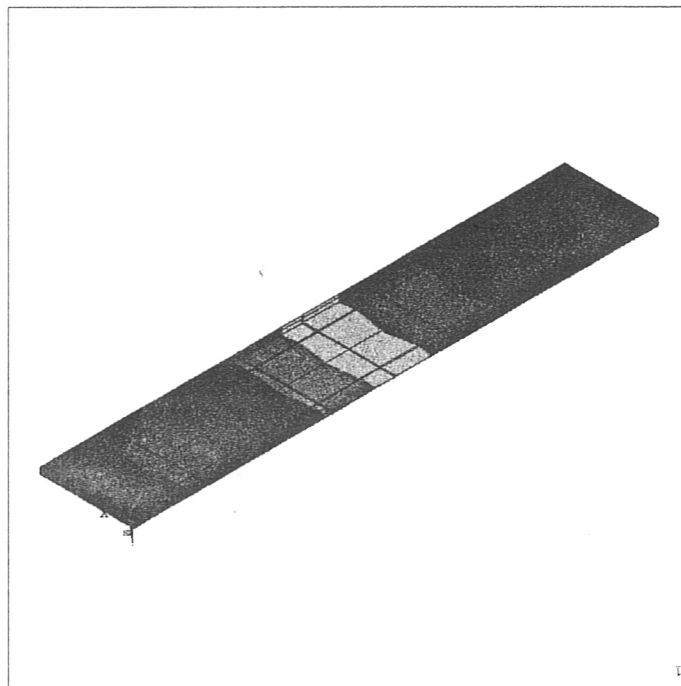
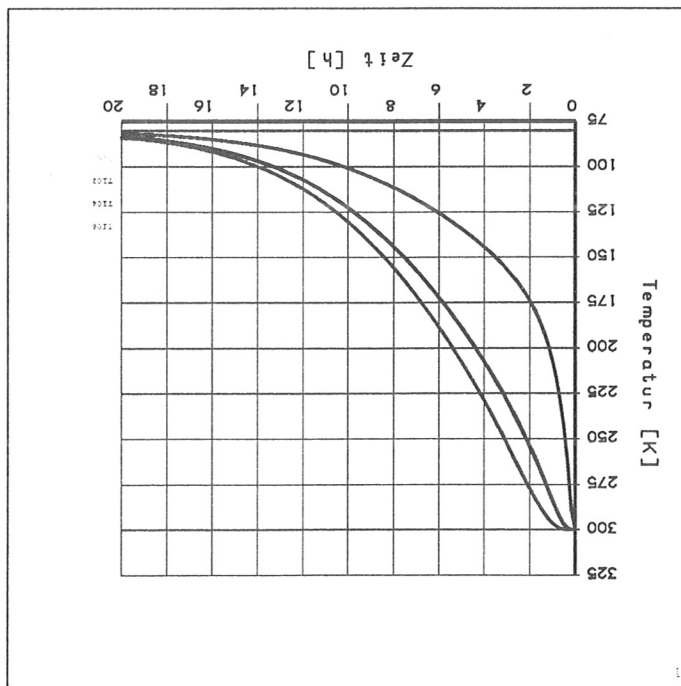


Abbildung 5: Simulierte Temperaturverlauf auf der Stahlsseite der Verbindplatte im Be-
reich der Sensoren T102, T104 und T106 unter Annahme einer idealen Kontaktierung
zwischen Kupfer und Stahl



und einer Höhe von 1 mm nachgebildet. Für die thermische Leitfähigkeit der Schweißpunkte ist eine Serienschaltung von jeweils halber Schweißpunktthöhe (=0,5 mm) der beiden Materialien angenommen. Die thermische Leitfähigkeit des Schweißpunktes wird

$$\bar{\lambda} = \frac{\lambda_{cu} \cdot \lambda_{st}}{\lambda_{cu} + \lambda_{st}}.$$

Die Abweichung der simulierten Daten von den experimentell ermittelten Daten ist kleiner als 10 % (Vergleich der Diagramme in den Abbildungen 3 und 4). Nach etwa 10 Stunden Abkühlzeit beträgt die Temperaturdifferenz entlang der Verbundplatte (Abbildung 6) etwa 60 K. Unter der Annahme eines idealen Kontaktes zwischen Kupfer und Stahl (keine Schweißpunkte) verkürzt sich die Dauer der Abkühlung des wärmsten Punktes nur unwesentlich, wie aus einem Vergleich der Diagramme der Abbildungen 4 und 5 hervorgeht.

2.1.1.2 Bestimmung des Wärmeüberganges von Kupfer auf Stahl

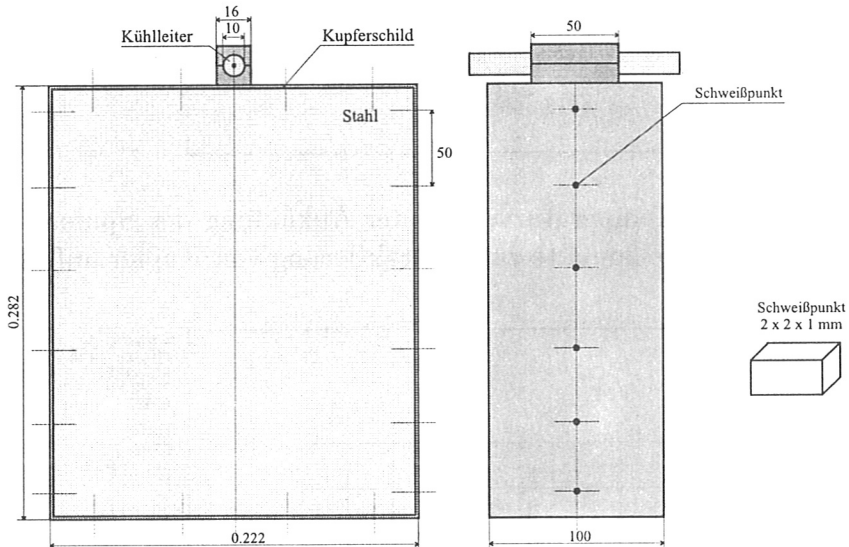


Abbildung 7: Detailausschnitt des Spulenmodells

Im vorliegenden Fall wird der Wärmeübergang anhand eines Spulenausschnittes, der der Länge eines Kupferblechsegmentes am Umfang der Magnetspule entspricht, bestimmt. In einem Fall handelt es sich um eine Punktschweißverbindung, wie sie für die Magneten am Wendelstein 7-X Verwendung finden könnte. Die Schweißpunkte sind dabei einreihig entlang des Spulenquerschnittumfanges in Abständen von etwa 50 mm angeordnet [6]. Abbildung 10 zeigt die Temperaturverteilung entlang des Schildes aufgrund der Kontaktierung durch Schweißpunkte. Im anderen Fall (Abbildung 11) ist ein idealer Wärmeübergang zwischen Kupferblech und Stahl über die gesamte Fläche angenommen. Die in den Diagrammen der Abbildungen 8 und 9 dargestellten Kurven entsprechen den Temperaturverläufen im Kühlrohr und im Zentrum des Segmentes. Die Abkühlgeschwindigkeit ist durch den maximalen Temperaturunterschied $\Delta T = 50$ K bestimmt. Für eine stabile Lösung ist ein Helium-Massendurchfluss $\dot{m}_{He} = 0.1$ g/s angenommen. Die Annahme einer idealen Kontaktierung entspricht einer 10 % kürzeren Abkühlzeit.

Abbildung 9: Simulierter Temperaturverlauf der Abkühlung des Spülensegmettes unter Annahme einer idealen thermischen Kontaktierung von Kupfer und Stahl

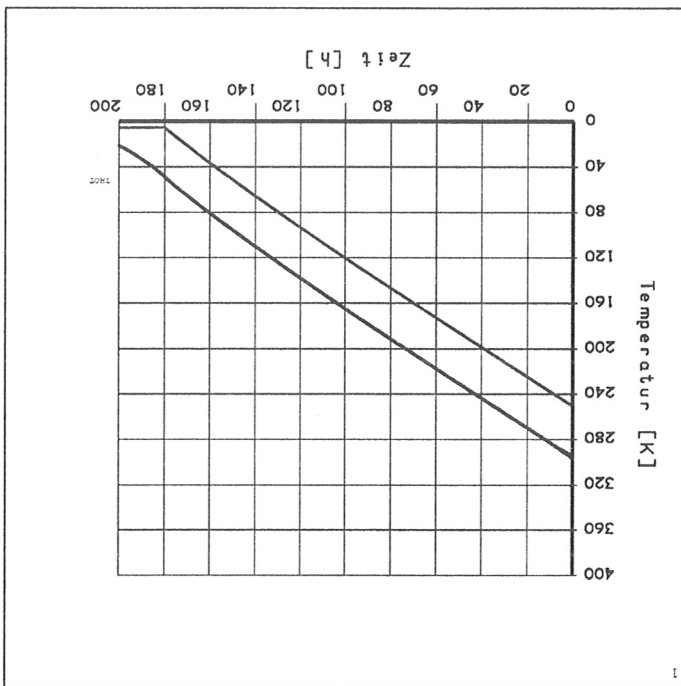
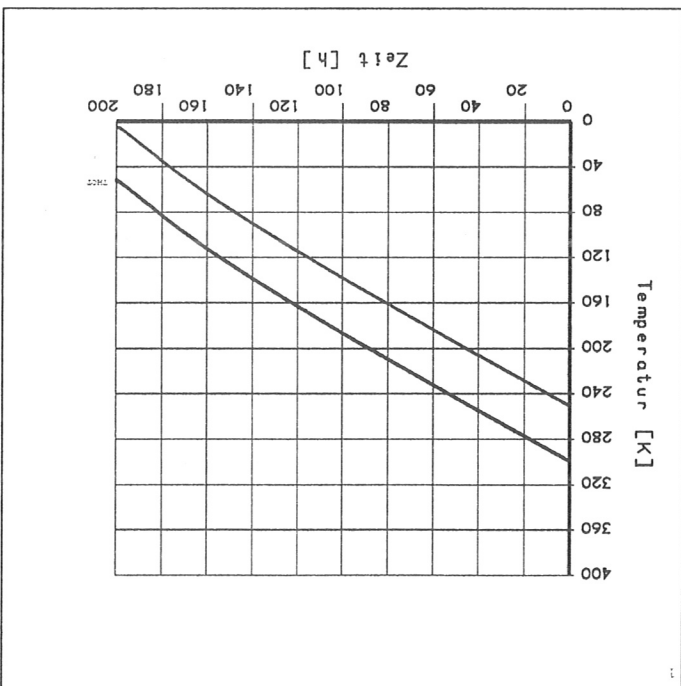


Abbildung 8: Simulierter Temperaturverlauf der Abkühlung des Spülensegmettes unter Berücksichtigung der Schweißpunkte zur Kontaktierung von Kupfer auf Stahl



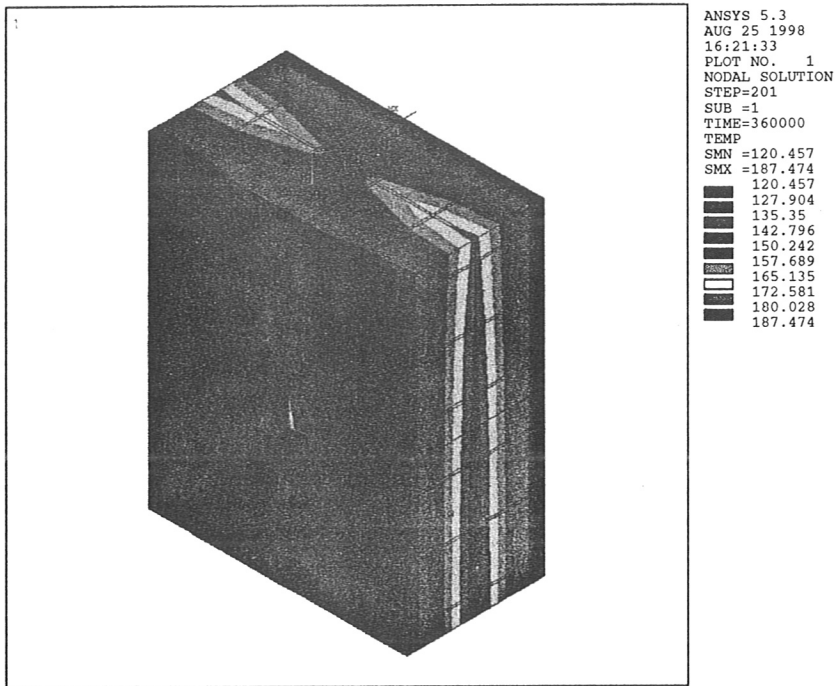


Abbildung 10: Simuliertes Temperaturprofil des Spulensegmentes bei Berücksichtigung der Schweißpunkte zur Kontaktierung von Kupfer auf Stahl

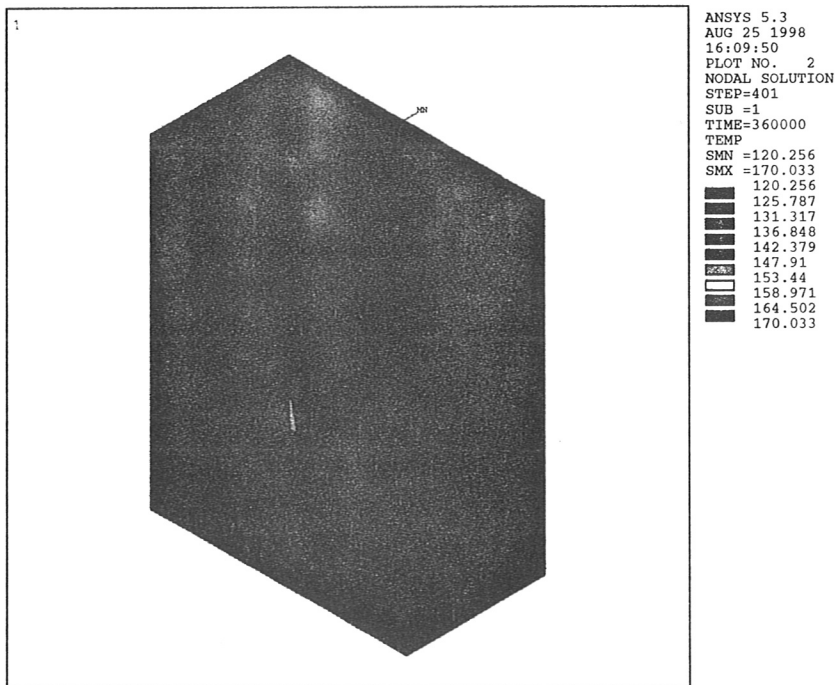


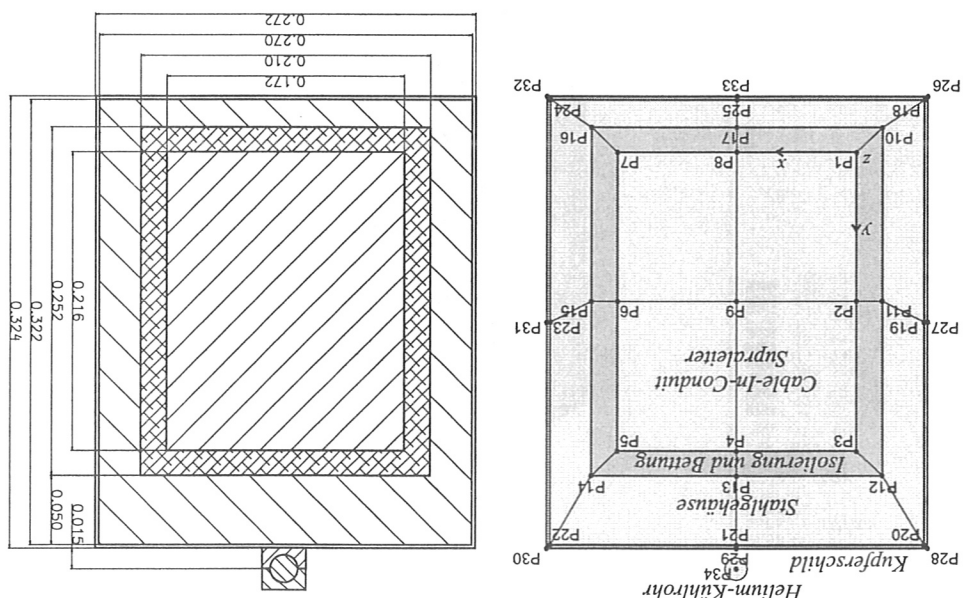
Abbildung 11: Simuliertes Temperaturprofil des Spulensegmentes bei idealer thermischer Kontaktierung von Kupfer und Stahl

bestimmt, wobei x_A die Materiallegierung und x_Cu jene von Kupfer ist. Zum Beispiel sind die spezifischen Dichten von Aluminium und Kupfer 2700 und 8960 kg/m³. Die durch diese Vereinigung entstehenden Fehler wirken sich nur unwesentlich auf das Rechenergebnis aus. Das für die Kühlung durch das Kabel strömende supraleitende Helium sowie die Kabelfolierung sind in der Simulation der Magnetabkühlung nicht berücksichtigt. Die angewandte Wärmeapazität des Supraleiterkabels ist etwa übereinheitlich mit dem Material der Isolierung und Bettung der Spule erreicht sind. Für die Materiallegierung der Isolierung und Bettung der Spule reichte das Programm mit den Eigenschaften von Epoxidharz. Das Spulengetriebe besteht aus rostfreiem Stahl, der im Allgemeinen mit den Eigenschaften des Stahles AISI 304 (DIN 1.4306) vergleichbar ist. Für die Kupfersegmente, welche den Spulenquerschnitt umschließen, wurde eine Legierung mit den Eigenschaften des Stahles AISI 304 (DIN 1.4306) verwendet.

$$x_{AIC^u} = \frac{3.64 + 1}{x_{AI} \cdot 3.64 + x_{C^u}}$$

Die Simulation der Akkumulation eines MF-Spule erfolgt mittels eines 3-D Modells, welches sich aus einzelnen verschiedenen Typs zusammensetzt. Die massiven Teile werden im FE-Programm ANSYS™ mit Elementen verschiedener Typs SOLID70 nachgebildet, während für die Rohleitung das Element FLUID66 Anwendungs findet [7]. Der Querschnitt des MF-Magnetspulenmodells enthält 34 Netzpunkte P1...P34 (siehe Seite 12), die zur Generierung der Elemente erforderlich sind. Die rechte Seite der Abbildung zeigt die Zeigt die für das Simulationsmodell verwendeten Querschnittsabschnitte.

Abbildung 12: MF-Spulse Querschnitt und -Abmessungen



2.1.2 Modellierung der Spule

zur Vereinfachung des Modells eine ideale Kontaktierung mit dem Stahlgehäuse angenommen. Diese Annahme ist zulässig wie für das Spulensegment-Modell gezeigt wurde. Um die thermischen Unterbrechungen zwischen benachbarten Kupfersegmenten in der Simulation zu berücksichtigen, wurde die thermische Leitfähigkeit in Richtung z (entlang des Spulenumfanges) auf den vernachlässigbar kleinen Wert $\lambda_{Cu,z} = 0.001 \text{ W/mK}$ gesetzt. Entlang des Spulenumfanges setzt sich das 3-D Modell aus 96 Teilabschnitten zusammen. Die Anzahl der Unterteilungen wurde aus der CAD-Spulenkonstruktion übernommen. Die ASCII-Dateien enthalten die Koordinaten der Spuleneckpunkte der Teilschnitte für Modulfeldspulen (MF1... MF5) und Zusatzfeldspulen (AF1... AF2) entsprechend Abbildung 13.

Dateiname	Beschreibung	
d.k1p1mfs1u1828x226w	MF-Spule 1	Ecke 1
d.k1p1mfs2u1828x226w	MF-Spule 2	Ecke 1
d.k1p1mfs3u1828x226w	MF-Spule 3	Ecke 1
d.k1p1mfs4u1828x226w	MF-Spule 4	Ecke 1
d.k1p1mfs5u1828x226w	MF-Spule 5	Ecke 1
d.k2p1mfs1u1828x226w	MF-Spule 1	Ecke 2
d.k2p1mfs2u1828x226w	MF-Spule 2	Ecke 2
d.k2p1mfs3u1828x226w	MF-Spule 3	Ecke 2
d.k2p1mfs4u1828x226w	MF-Spule 4	Ecke 2
d.k2p1mfs5u1828x226w	MF-Spule 5	Ecke 2
d.k3p1mfs1u1828x226w	MF-Spule 1	Ecke 3
d.k3p1mfs2u1828x226w	MF-Spule 2	Ecke 3
d.k3p1mfs3u1828x226w	MF-Spule 3	Ecke 3
d.k3p1mfs4u1828x226w	MF-Spule 4	Ecke 3
d.k3p1mfs5u1828x226w	MF-Spule 5	Ecke 3
d.k4p1mfs1u1828x226w	MF-Spule 1	Ecke 4
d.k4p1mfs2u1828x226w	MF-Spule 2	Ecke 4
d.k4p1mfs3u1828x226w	MF-Spule 3	Ecke 4
d.k4p1mfs4u1828x226w	MF-Spule 4	Ecke 4
d.k4p1mfs5u1828x226w	MF-Spule 5	Ecke 4
d.k1p1afs1u114x118w	AF-Spule 1	Ecke 1
d.k1p1afs2u114x118w	AF-Spule 2	Ecke 1
d.k2p1afs1u114x118w	AF-Spule 1	Ecke 2
d.k2p1afs2u114x118w	AF-Spule 2	Ecke 2
d.k3p1afs1u114x118w	AF-Spule 1	Ecke 3
d.k3p1afs2u114x118w	AF-Spule 2	Ecke 3
d.k4p1afs1u114x118w	AF-Spule 1	Ecke 4
d.k4p1afs2u114x118w	AF-Spule 2	Ecke 4

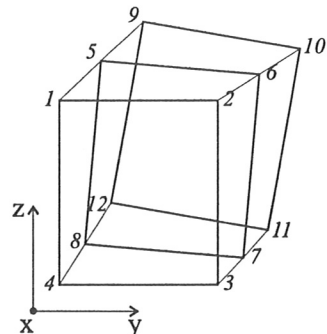


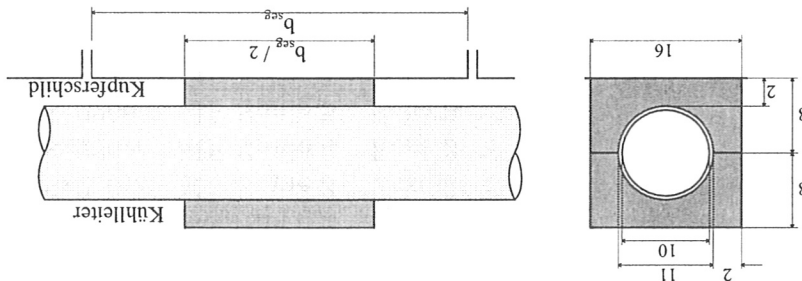
Abbildung 13: Koordinaten und Benennung der Spuleneckpunkte

Das FORTRAN-Programm KP.F¹ reiht die Daten der vier Spuleneckpunkte für die 96 Unterteilungen aneinander und speichert sie in einer neuen Datei. Die Datei SP1.NODE enthält zum Beispiel die Koordinaten der Eckpunkte für die Modulfeldspule MF1. Daraus generiert die ANSYSTM Batch-Datei MFMODEL.DAT (siehe Anhang) die erforderlichen

¹mit freundlicher Genehmigung von Herrn O. Jandl

- Die thermische Leitfähigkeit des Kupferblechs im Richtung des Spulenumfangs ist verhältnismäßigbar. Damit müssen die Abstände zwischen den Kupferschichten in nicht modelliert werden.
 - Der maximale Temperaturunterschied an der Magnetspule während der Abkühlung beträgt 50 K.
 - Der gesamte Helium-Massen durchfluss ist 5 g/s bei Anordnung mit einem Kühlleiter bzw. $2 \cdot 2,5 \text{ g/s}$ bei den Anordnungen mit zwei Kühlleitern.
 - Die Dicke der Kupferschildesgemeinte ist $1,0 \text{ mm}$ bzw. $2,5 \text{ mm}$. Das Restwiderrstandsverhältnis des Kupfers ist mit $R_{RR} = 10$ angenommen.

Abbildung 14: Kühlleiterkonfiguration



Mit b_{seg} der Kupfersegmente breite in Spulenmaengsrichtung (Abbildung 14). Der Kuhleiter besteht ebenfalls aus Kupfer.

$$A^k = d^h \cdot \frac{2}{b^{seg}},$$

- Die Kühleitungen erfordern nur durch Kühllüng drurch das Kühlrohr (hydrdraulischer Durchmesser $d_h = 10 \text{ mm}$) entlang des Spülungsbauwerks. Das Kühlmittel ist Heliumgas mit einem Druck von 5 bar.
 - Ideale Kontaktierung des Kühlleiters auf dem Kupferschild wird vorausgesetzt. So- mit erfolgt der Wärmeübergang von Helium auf Kupfer über die Kontaktfläche

Die Simulationen der drei Fallstudien werden mit folgenden Annahmen durchgeführt:

2.1.3 FE-Berechnung

Netzpunkte und Elemente für das 3-D Modell. Die Elemente und Elemente werden in den Dateien MC001.NODE und MC001.ELEM gespeichert. Um die Modelldaten für eine neue MF-Schulengeometrie zu aktualisieren, müssen lediglich die Eckpunkte für die neuen SPX.ELEM und SPX.NODE modifiziert werden. Die Zuweisung der Materialbeschaffungen des Akkumulatorganges erfolgt mit den Batch-Daten und die transiente FE-Berechnung der Akkumulatoren wird mit den Daten und den Dateien DAT.

Die Batch-Dateien `MFFMODEL.DAT` und `MFSOLU.DAT` enthalten einen Abschnitt, in dem sich die Parameter zur Grundeinstellung sowie die Anfangsbedingungen für die FE-Berechnung befinden (max. und min. Temperatur, max. Temperaturunterschied am Spulengehäuse, Durchmesser des Kühlleiters, etc.). In beiden Dateien gibt es eine Variable mit der Bezeichnung `choice`. Abhängig von `choice` wird die FE-Berechnung für die verschiedenen Kühlleiter-Varianten konfiguriert (`choice=1` entspricht einem Kühlleiter entlang des Spulenumfangs, 2 serielle Kühlleiteranordnung, 3 antiserielle Kühlleiteranordnung, 4 entspricht der Aufwärmung der MF-Spule bei Einzelkühlleiteranordnung). Die Variable muß vor dem Ausruf der Batch-Dateien in beiden Dateien auf die gleiche Nummer geändert werden. Andernfalls führt es zu einem fehlerhaften Programmablauf.

Die Eigenschaften des Kühlmediums und der Spulenwerkstoffe sind im Bereich 4...300 K definiert. Für einen Helium-Massendurchfluß von $\dot{m} = 5$ bzw. 2.5 g/s herrschen turbulente Strömungsverhältnisse im Kühlleiter. Über die Reynolds-Zahl

$$Re = \frac{\dot{m} \cdot d_h}{A_h \cdot \eta}$$

und die Prandtlzahl

$$Pr = \frac{c_p \cdot \eta}{\lambda}$$

berechnet ANSYSTM mit Hilfe der Dittus-Boelter Korrelation die Nusseltzahl

$$Nu = 0.023 \cdot Re^{0.8} \cdot Pr^{0.3}$$

mit d_h dem hydraulischen Durchmesser, A_h dem hydraulischen Leitungsquerschnitt, η der dynamischen Viskosität, λ der thermischen Leitfähigkeit und c_p der spezifischen Wärme. Daraus folgt der Wärmeübergangskoeffizient des Kühlmediums auf die Kühlleiterwand

$$h = \frac{Nu \cdot \lambda}{d_h}.$$

Der für die Berechnung in ANSYSTM zusätzlich erforderliche Rohreibungskoeffizient ξ ist eine Funktion der Reynoldszahl

$$\xi(Re) = \begin{cases} 0.0, & \text{für } Re = 0; \\ \frac{64}{Re}, & \text{für } 0 \leq Re \leq 2500; \\ \frac{0.3164}{\sqrt[4]{Re}}, & \text{für } 2500 \leq Re. \end{cases}$$

Die transiente Berechnung der Abkühlung und Aufwärmung der MF-Magnetspule erfolgt iterativ für konstante Zeitabschnitte (siehe auch Ref. [4]).

Nach jedem Berechnungsvorgang sucht das Programm nach der wärmsten bzw. kältesten Stelle in der Spule, um die Eintrittstemperatur des Kühlmediums, abhängig vom vorgegebenen max. Temperaturunterschied ΔT , für den nächsten Berechnungsschritt festzulegen. Das Resultat der Berechnung wird in der Datei `MFCOIL.DB` gespeichert. Mit Hilfe der Batch-Dateien `MFPOST1.DAT` und `MFPOST26.DAT` lassen sich die Ergebnisse zu diskreten Zeitpunkten und als Funktion der Zeit visuell darstellen.

Eine temperaturkontrollierte Auwärmung der Magnetspule erfolgt im umgekehrten Sinne wie der Akkumulatorenvorrang, ebenfalls unter Einhaltung des maximalen Temperaturgradienten von $\Delta T = 50\text{ K}$. Die Abbildungen 24 und 25 zeigen den simulierten Auwärmvorgang mit einem MF-Spule mit einem Kühlleiter entlang des Spulenmantelges bei Annahme verschiedener Kühlleitdicken von 1,0 mm bzw. 2,5 mm. Abbildung 26 veranschaulicht die Temperaturverteilung entlang des Kühlleitermantels mit einer Kühlleitdichte von 1,0 mm. Die Auwärmvorgänge sind ähnlich wie die Ergebnisse zu erwarten.

Die Abbildungen 17, 20 und 23 zeigen die Temperaturverteilung am 1,0 mm dicken Kühlleiter mit einer Kühlleitdichte von 1,0 mm statt 2,5 mm erheblich erhöht wird.

Die Verwendung von Kühlleitdissen mit einer Dicke von 2,5 mm statt 1,0 mm verschafft sowohl Wirkungsgrad als auch Begehung der Akkumulatoren Kühlleitungen. Anhand diskreten Zeitpunkten 10, 50 und 120 Stunden nach Begehung der Akkumulatoren zu den unterschiedlichen Temperaturprofile für die verschiedenen Kühlleitkonfigurationen kann der Aufrethend der Position der Temperatursensoren für die Regelung des Akkumul- und Auwärmvorrang gesetzelegt werden.

Nachfolgend sind die Ergebnisse der Simulationsrechnungen sowohl für die unterschiedlichen Kühlerkonstruktionen (Einzel-, serielle- und antiserielle Kühlleiteranordnung) als auch für die unterschiedliche Kupferschichtdicke (1,0 mm und 2,5 mm) zusammengefaßt.

2.1.4 Ergebnisse der FE-Berechnung

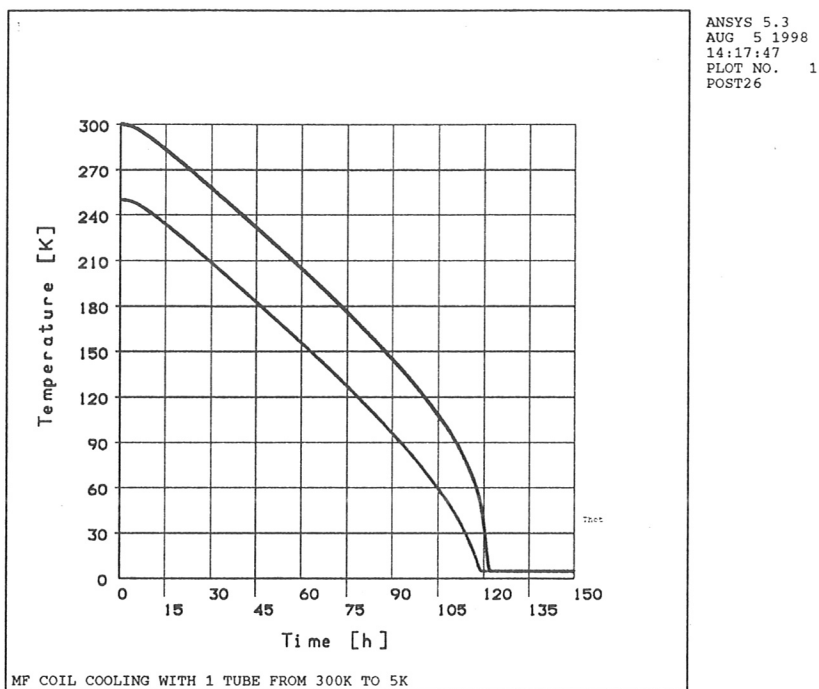


Abbildung 15: Simulierter Temperaturverlauf der Heliumeinlaß- und Maximaltemperatur während der Abkühlung einer MF-Spule mit einem Kühlleiter entlang des Spulenumfang (Kupferschilddicke = 1,0 mm)

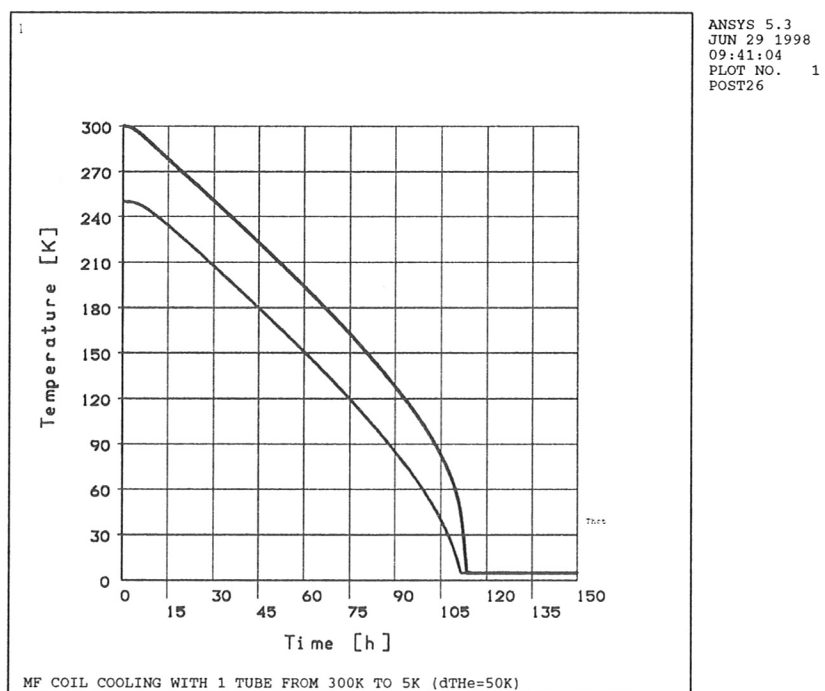


Abbildung 16: Simulierter Temperaturverlauf der Heliumeinlaß- und Maximaltemperatur während der Abkühlung einer MF-Spule mit einem Kühlleiter entlang des Spulenumfang (Kupferschilddicke = 2,5 mm)

Abbildung 17: Simulierte Temperaturprofil während einer MF-Spülung eines Kühlelementes mit einem Kühlelement entlang des Spülenumfangs nach 10, 50 und 120 Stunden (links: Kühlelement; rechts: Winkelkörper); Kuhferschilddicke = 1,0 mm



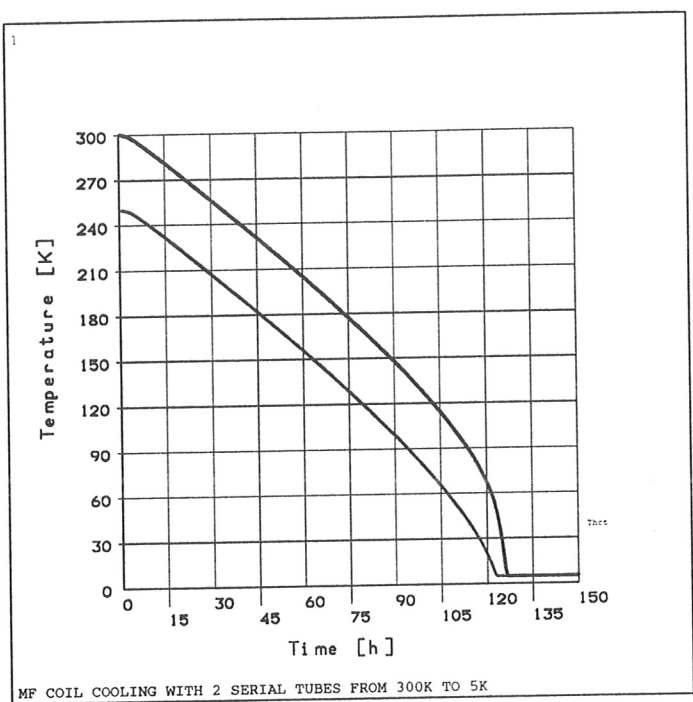


Abbildung 18: Simulierter Temperaturverlauf der Heliumeinlaß- und Maximaltemperatur während der Abkühlung einer MF-Spule mit serieller Kühlleiteranordnung entlang des Spulenumfangs (Kupferschilddicke = 1,0 mm)

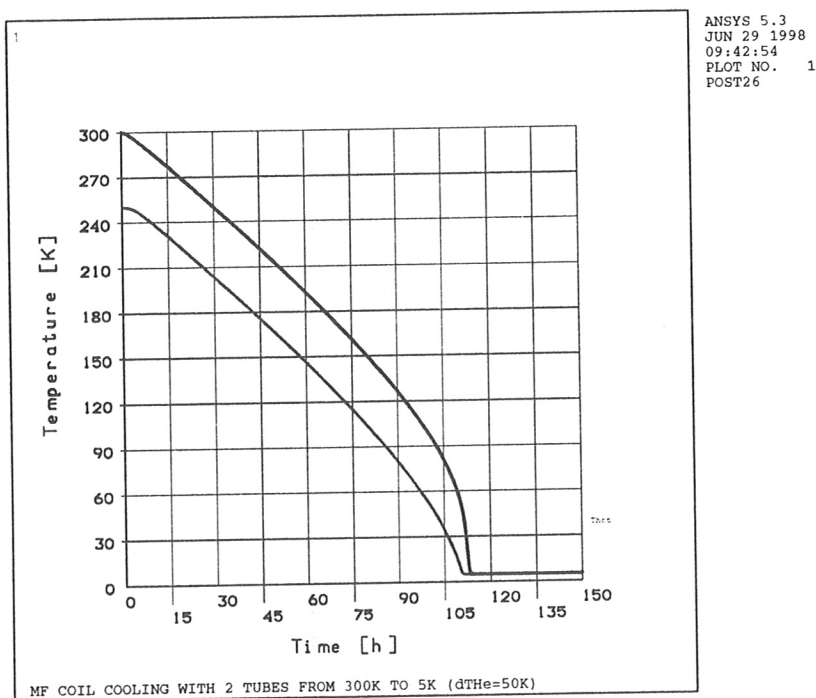


Abbildung 19: Simulierter Temperaturverlauf der Heliumeinlaß- und Maximaltemperatur während der Abkühlung einer MF-Spule mit serieller Kühlleiteranordnung entlang des Spulenumfangs (Kupferschilddicke = 2,5 mm)

Abbildung 20: Simulierte Temperaturprofile während der Akkumulation eines MF-Spule mit serieller Kühlleiteranordnung entlang des Spulenumfangs nach 10, 50 und 120 Studenten links; Kührlöcher rechts: Winkelkopfer); Kupferschlaidecke = 1,0 m



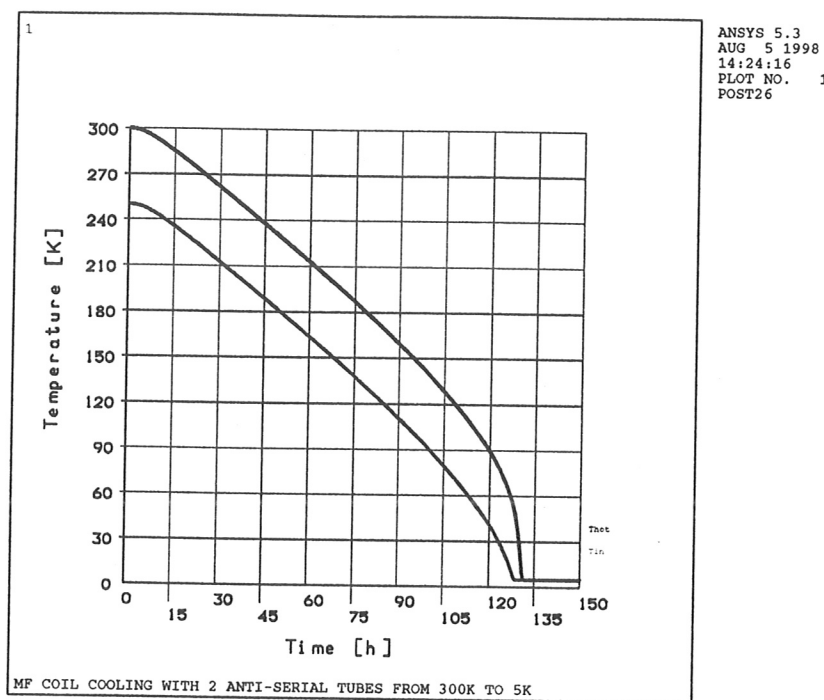


Abbildung 21: Simulierter Temperaturverlauf der Heliumeinlaß- und Maximaltemperatur während der Abkühlung einer MF-Spule mit antiserieller Kühlleiteranordnung entlang des Spulenumfangs (Kupferschilddicke = 1,0 mm)

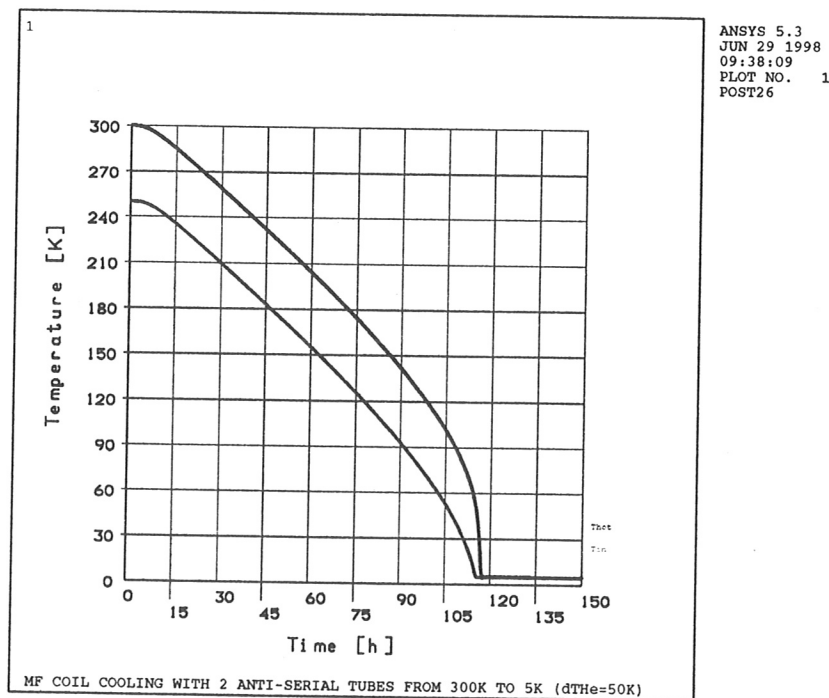


Abbildung 22: Simulierter Temperaturverlauf der Heliumeinlaß- und Maximaltemperatur während der Abkühlung einer MF-Spule mit antiserieller Kühlleiteranordnung entlang des Spulenumfangs (Kupferschilddicke = 2,5 mm)

Abbildung 23: Simulierte Temperaturprofil während der Abkühlung eines MF-Spule mit antisierlicher Kühlleiteranordnung entlang des Spulenumfangs nach 10, 50 und 120 Stunden (links: Küpfelbeschleunigung; rechts: Winkelbeschleunigung); Küpferschilldickte = 1,0 mm



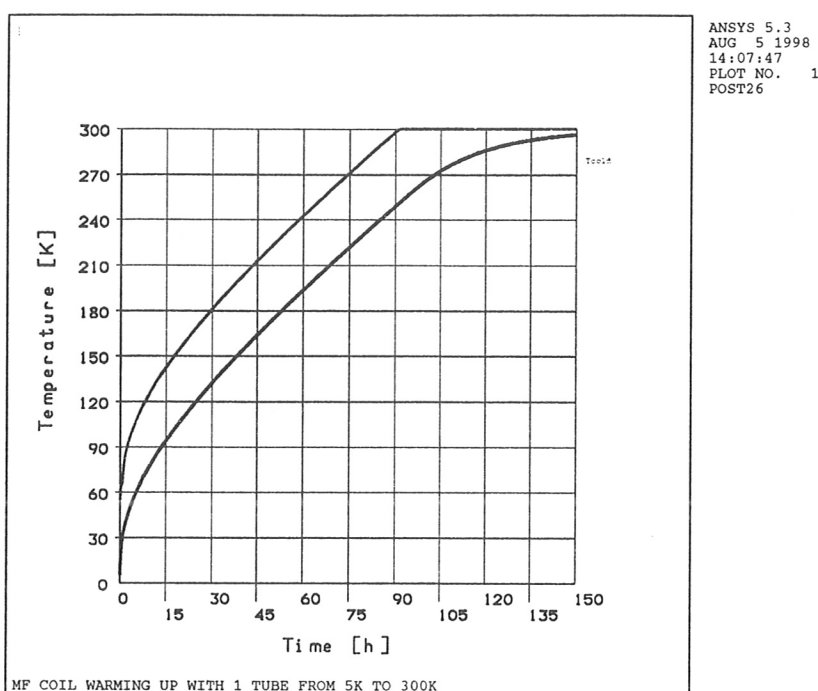


Abbildung 24: Simulierter Temperaturverlauf der Heliumeinlaß- und Minimaltemperatur während der Aufwärmung einer MF-Spule mit einem Kühlleiter entlang des Spulenumfangs (Kupferschilddicke = 1,0 mm)

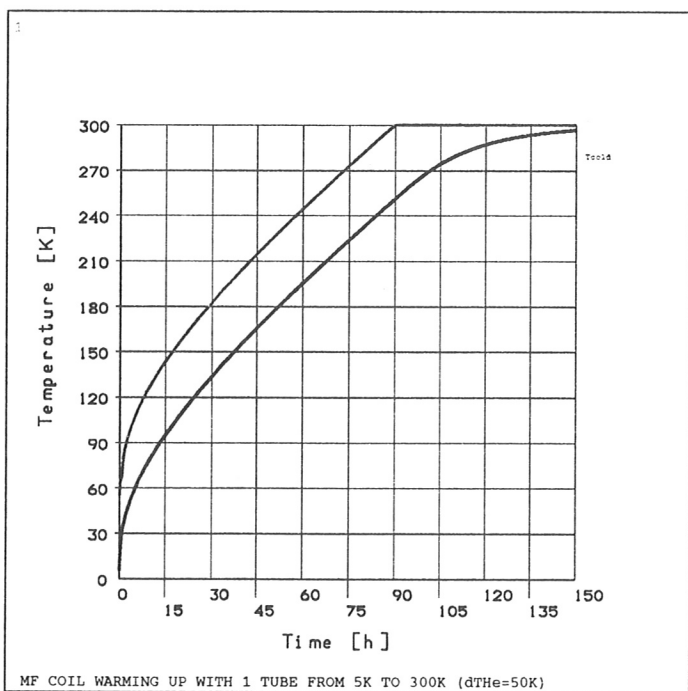


Abbildung 25: Simulierter Temperaturverlauf der Heliumeinlaß- und Minimaltemperatur während der Aufwärmung einer MF-Spule mit einem Kühlleiter entlang des Spulenumfangs (Kupferschilddicke = 2,5 mm)

Abbildung 26: Simulierte Temperaturprofil während der Aufwärmung einer MF-Spule
mit einem Kühlkörper entlang des Spulenumfangs nach etwa 3, 43 und 113 Stunden (links:
Kupferblechsegmente; rechts: Winkelkörper); Kühlkörperdicke = 1,0 mm



2.1.5 Druckabfall im Kühlleiter

Druckverluste in den Kühlleitern sind in der Simulation nicht berücksichtigt. Sie treten speziell im oberen Temperaturbereich während der Abkühlung auf und können nicht vernachlässigt werden.

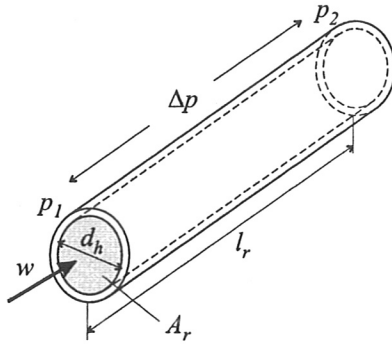


Abbildung 27: Rohrleitung

Der Druckabfall entlang einer Rohrleitung (Abbildung 27) berechnet sich aus folgender Formel [11]

$$\Delta p = \xi \cdot \frac{l_r \cdot w^2}{2 \cdot d_h} \cdot \rho$$

mit der Rohrlänge l_r , der spezifischen Dichte des Kühlmediums ρ und der Durchflußgeschwindigkeit

$$w = \frac{\dot{m}}{\rho \cdot A_r}$$

Die Durchflußgeschwindigkeit ist bestimmt durch den Massendurchfluß \dot{m} , dem hydraulischen Rohrquerschnitt $A_r = d_h^2 \cdot \pi/4$ und der spezifischen Dichte ρ . Die Druckverluste bei verschiedenen Temperaturen sind in Tabelle 1 dargestellt. Die Werte bewegen sich im Rahmen der für die Kälteanlage spezifizierten Druckverluste und sind somit zulässig.

Tabelle 1: Druckverluste in einer Rohrleitung mit $d_h = 10$ mm und $l_r = 10$ m bei einem Heliumdurchfluß von $\dot{m} = 5$ g/s bei 5 bar

Temperatur K		300	200	100	10
ρ_{He}	kg/m ³	0.801	1.992	2.390	27.76
η_{He}	$\mu\text{Pa s}$	19.94	15.17	9.83	2.592
w_{He}	m/s	79.5	53.1	26.6	2.3
Re		$3.2 \cdot 10^4$	$4.2 \cdot 10^4$	$6.5 \cdot 10^4$	$2.5 \cdot 10^5$
ξ_{He}		0.024	0.022	0.020	0.014
Δp	Pa	$5.1 \cdot 10^4$	$3.2 \cdot 10^4$	$1.4 \cdot 10^4$	$8.8 \cdot 10^2$

$$U' = U/4.$$

Das Kühlsystem ist einräucher herstellbar bei Verwendung eines „halben“ Cu-Profil Abb. 30 anstelle eines Vollprofils. Die Warmeübertragungssfläche vom Helium zum Cu-Profil wird dann nochmals halbiert, d.h. es gilt

Damit ist gezeigt, dass diese empirische eindimensionale Berechnungsmethode ausreicht und damit auch bedeem Parameterstudien durchgeführt werden können.

Für die Berechnung wird der Spulenkopf in 20 gleiche Abschnitte Δx unterteilt. Die Länge-
raturbedingung AT ≤ 50 K wird für die Differenz zwischen der He-Temperatur am Eingang
des ersten und der Temperatur des letzten Spulenlements eingehalten.

Für die Wandtemperatur T_w wird die Spülentemperatur des entsprechenden Elementes, T_{Sp} , angenommen (zur Diskussion der Vermachtlösung der Differenz zwischen Temperaturen, 2.3), und die He-Temperatur ist der Mittelwert zwischen diesen Temperaturen s. Abschm. 2.3), und die He-Temperatur ist der Mittelwert zwischen Elementen. Die spezifische Wärme und Masse des Eisgangs- und Ausgangstemperatur eines Elements. Die Berechnung angenommen.

$$U = U/2$$

wobei der erste Ausdruck die Wärmeausdehnung des Heliums entlang der Strecke Ax, der zweite den Wärmeübergang vom Kühlrohr zum Helium, und der dritte Ausdruck die Wärmeabgabe des entsprechenden Spulenkorperstücks mit der Länge Ax bedeutet. Die Wärmeübertragungszahl h wird wie üblich nach Dittus-Boelter berechnet. Der effektive Umfang U, der der Wärmeverlust der Wärmeübertragungssfläche entspricht, wird nach Abb. 14 wegen der halbierten Länge des Cu-Profil

$$\frac{dp}{ds} \cdot d_s u \nabla \cdot d_s c = (\overset{\vartheta H}{L} - \overset{M}{L}) \cdot x \nabla \cdot \Omega \cdot \eta = \overset{\vartheta H}{L} \nabla \cdot \overset{\vartheta H}{d} c \cdot \overset{\vartheta H}{u}$$

Eine vereinfachte Abbildungsréchnung kann für einen zu einem geraden Balken gegebenen homogenen Spulenkopier mit der Länge L unter Annahme gleicher Temperatur im Balkenüberschitt durchgeführt werden. Die Wärmebilanz an der Stelle x ist dann

2.2 Eindimensionale Rechnung

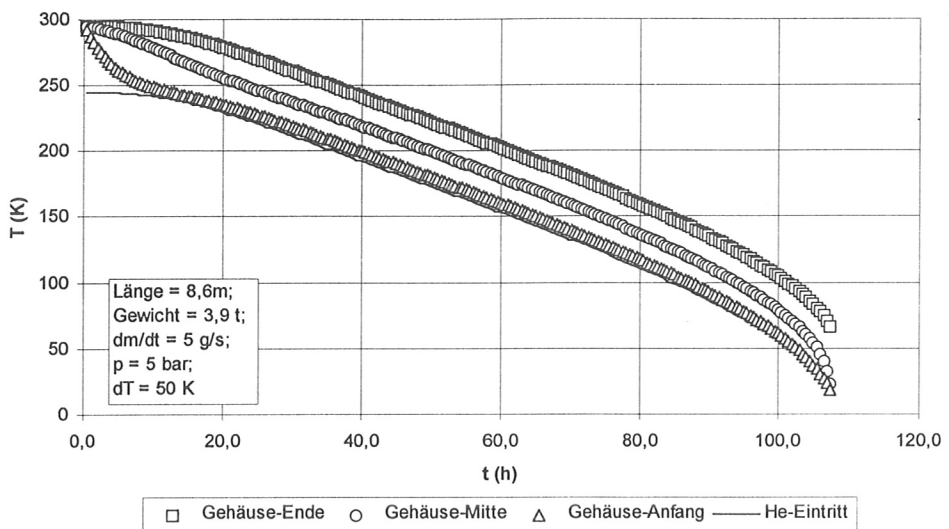


Abb. 28: Einzelrohrkühlung, $\Phi_i=10$ mm, Wärmeübergang über ganzen Kühlrohrumfang und halbe Rohrlänge

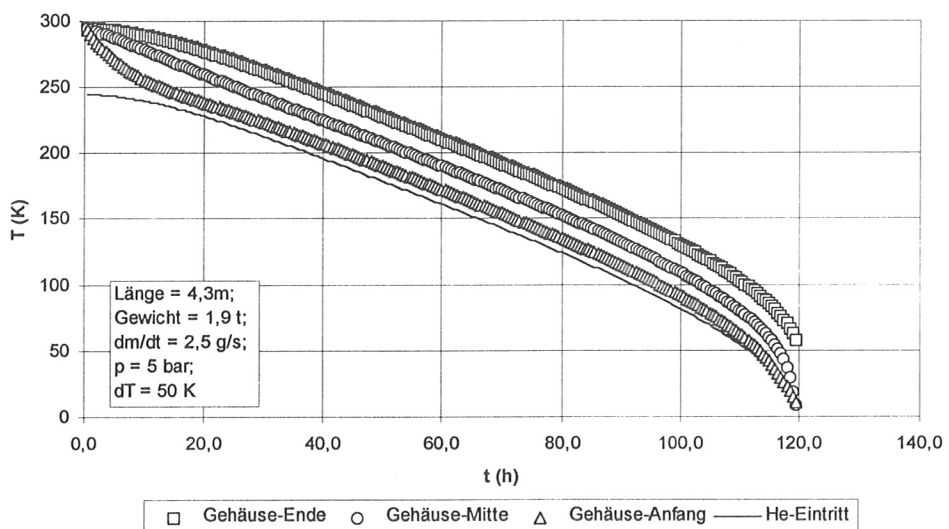


Abb. 29: Antiserielle Kühlung, $\Phi_i=10$ mm, Wärmeübergang über ganzen Kühlrohrumfang und halbe Rohrlänge

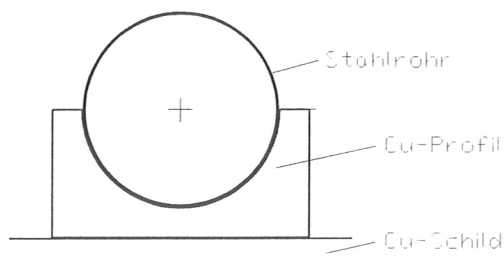


Abb. 30: Cu-Halbprofil als Wärmeleiter zwischen Kühlrohr und Schild

Eine weitere Reduktion der Abkühlzeit kann man durch Verkleinerung des Kühlrohrdurchmessers erzielen. Die Stromungsbeschleunigung des Heliums und somit auch der Wärmeübertragung zwischen Rohr und Wand wird dadurch erhöht. In Abb. 33 ist das Ergebnis für einen inneren Rohrdurchmesser von 6 mm dargestellt. Der Druckabfall wird durch diese Reduktion von 10 mm auf 6 mm wegen $\Delta p \sim d^{-4,75}$ allerdings um etwa den Faktor 11,5 erhöht (vgl. Tab. 1, S. 25).

Abb. 32: Antiserielle Kühlung, $\Phi_i = 10$ mm, Wärmeübertragung über halben Kühlrohrumfang und halbe Rohrlänge

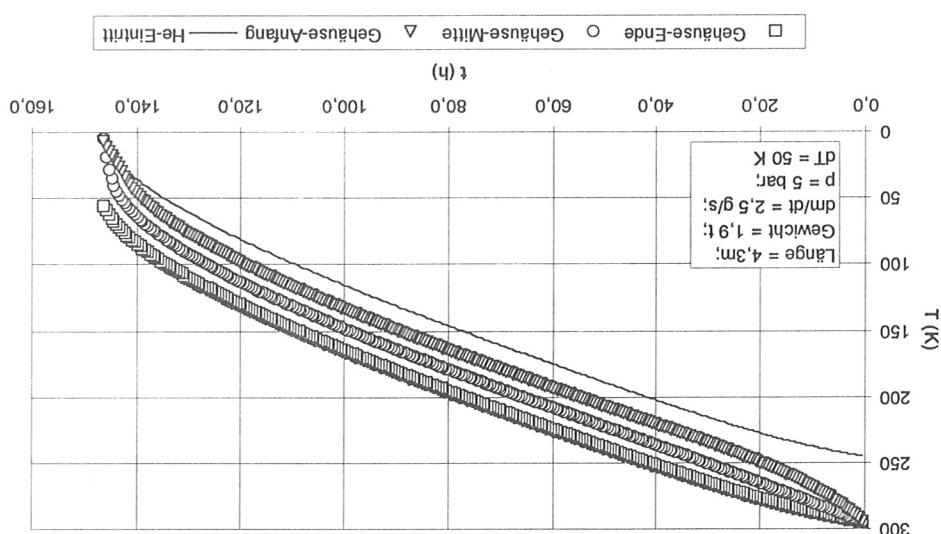
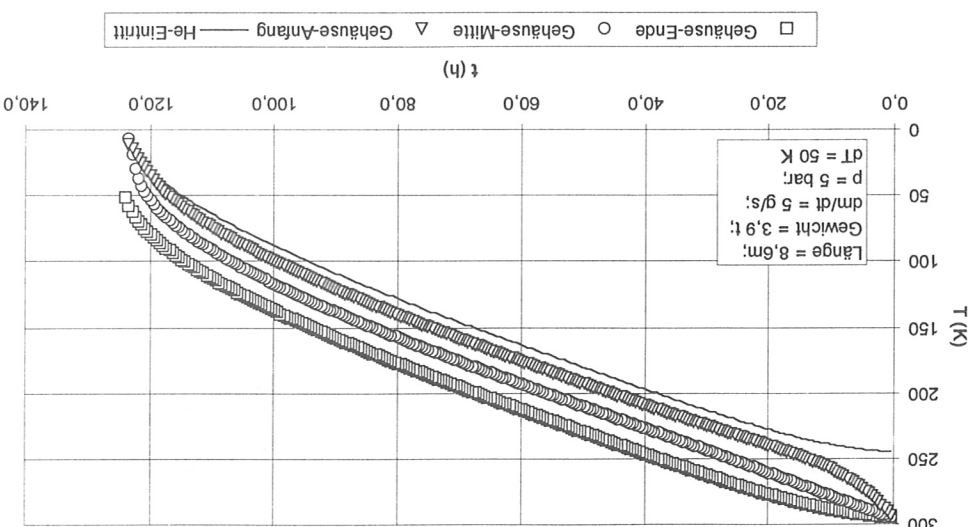


Abb. 31: Einzelrohrkühlung, $\Phi_i = 10$ mm, Wärmeübertragung über halben Kühlrohrumfang und halbe Rohrlänge



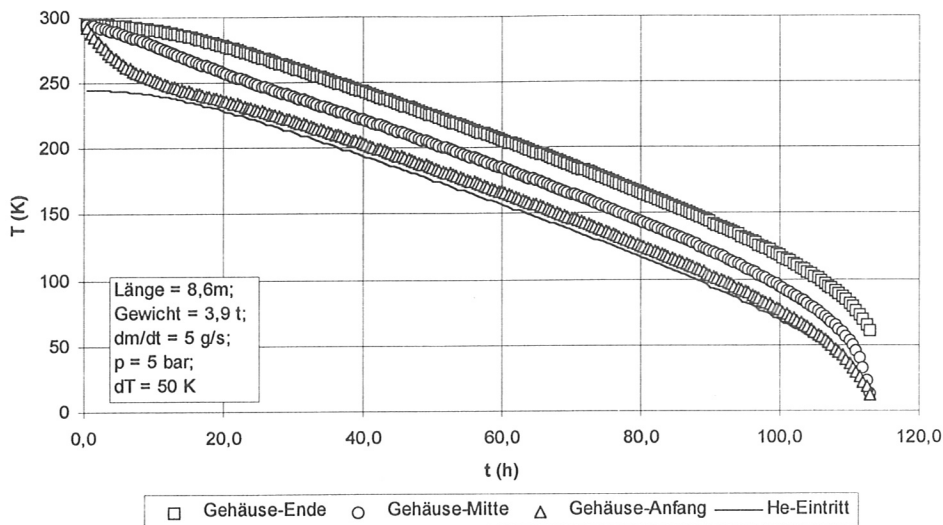


Abb. 33: Einzelrohrkühlung, $\Phi_i=6$ mm, Wärmeübergang über halben Kühlrohrumfang und halbe Rohrlänge

Bei den bisherigen Rechnungen wurde nicht berücksichtigt, daß auch die Gewölbe-Struktur zwischen den Spulen zur Abstützung der Magnetkräfte thermisch an die Spulengehäuse gekoppelt ist und von der Gehäusekühlung mitgekühlt wird. Es wird hier konservativ angenommen, daß die zu einer Spule gehörenden Strukturelemente die halbe Masse des Spulengehäuses besitzen. Damit wird die von einem Gehäusekühlkreis zu kühlende Gesamtmasse etwa 5 t. Die Abb. 34 und 35 zeigen die entsprechenden Abkühlverhältnisse unter Annahme von Cu-Halbprofilen und Kühlrohren mit Innendurchmessern von 10 bzw. 6 mm. Damit ist gezeigt, daß die Spulen samt Gewölbestruktur innerhalb von etwa einer Woche abgekühlt werden können.

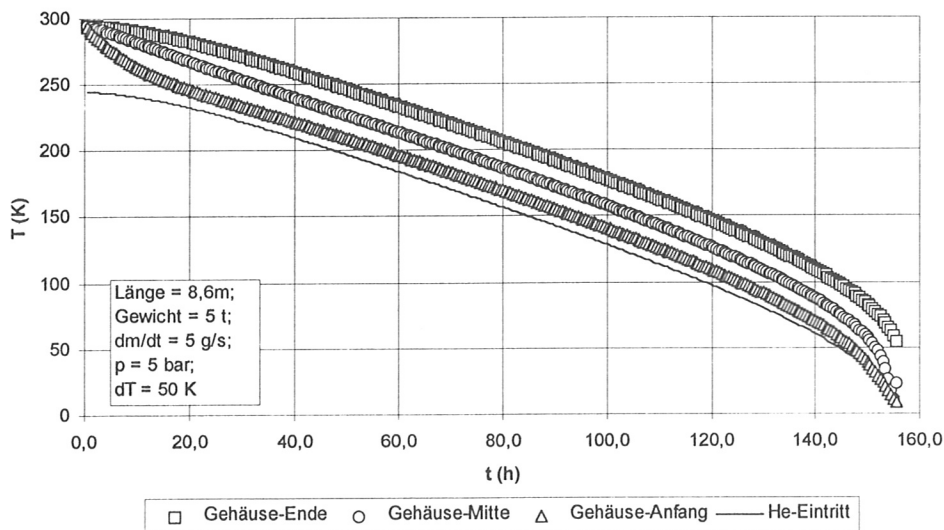


Abb. 34: Abkühlung einer MF-Spule mit angrenzender Stützstruktur. Einzelrohrkühlung, $\Phi_i=10$ mm, Wärmeübergang über halben Kühlrohrumfang und halbe Rohrlänge.

d. h. es wird wiederholt der Mittelwert der Funktionswerte der vier benachbarten Punkte gebildet.

$$f_{i,j} = \frac{4}{f_{i+1,j} + f_{i,j+1} + f_{i-1,j} + f_{i,j-1}}$$

Die Formel überzeugen (Abb. 36). Die Funktion $f(x,y) \equiv T(x,y)$ an einem Punkt P_{ij} ergibt sich iterativ aus ermittelt. Dazu wird der Querschnitt der Anordnung mit einem Netz mit der Maschenweite h

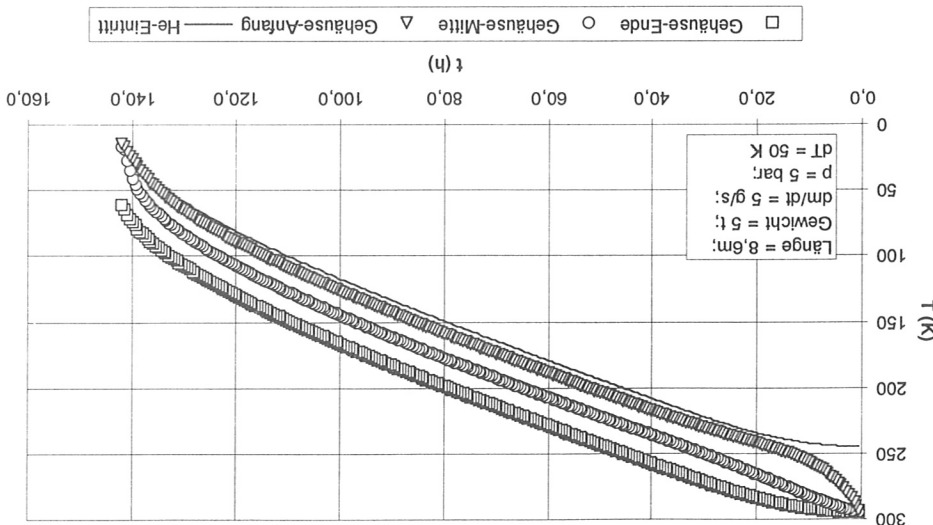
$$\frac{\partial^2 f}{\partial x^2} + \frac{\partial^2 f}{\partial y^2} = 0$$

Schließlich wird durch numerische Lösung [12] der Laplace-Gleichung die 2-dimensionale Temperaturverteilung im Profilquerschnitt samt dem damit verbundenen

Schid wird vollflächige Verlötung, d.h. idealer Wärmeübergang angenommen. Schmalchlassigbar ist (s.u.). Zwischen Stahlrohr und Cu-Profil sowie diesem und dem Cu-Rohrprofil Rohdurchmesser angepasst, da die entsprechende Temperaturdifferenz praktisch unabhängig ist von Rohr $\Phi_i = 10$ mm unter sucht. Im zweiten Fall wird das Cu-Profil nicht dem anderen einsetzen. Ein Rohr $\Phi_i = 6$ mm und emersets der zum Profil KMO 14/554 passende Stahlrohr-Liniedurchmesser $\Phi_i = 6$ mm und 0,5 mm bemaßen. Bezuglich des Wärmeüberganges von Helium auf die Rohrwand werden 0,5 mm konserватiv 1 mm gesetzt. (Die tatsächliche Wandstärke wird vorausgesetzt, dass es sehr konserватiv ist.) Außerdem wird die Wandstärke des Stahlrohrs wird eine Halbmessung von 10,3 mm ($x = 10,3$ mm) angenommen, und für die Halbprofil-Außendurchmesser 10,3 mm \times 10,3 mm) angenommen, und für die Wandstärke des Stahlrohrs wird eine Hälfte des kompletten erhaltenen Cu-Vollprofils KMO 14/554 ($\Phi_i = 7,9$ mm, Rohrlänge (Abb. 14) sowie ein Cu-Halbprofil (Abb. 30), vorausgesetzt. Für das Halbprofil wird die Berechnung wird der ungünstigste Fall, nämlich Wärmeübergang über die halbe Kühlrohrlänge (Abb. 14) sowie ein Cu-Halbprofil (Abb. 30), vorausgesetzt. Für das Halbprofil wird die Berechnung wird der ungünstigste Fall, nämlich Wärmeübergang über die halbe Kühlrohrlänge.

2.3. Wärmeübergang vom Kupferschild zum Kühlhelium

Abb. 35: Akühlung einer MF-Spule mit angrenzender Stützstruktur. Einzelrohrkühlung, $\Phi_i = 6$ mm, Wärmeübergang über halben Kühlrohrumfang und halbe Rohrlänge.



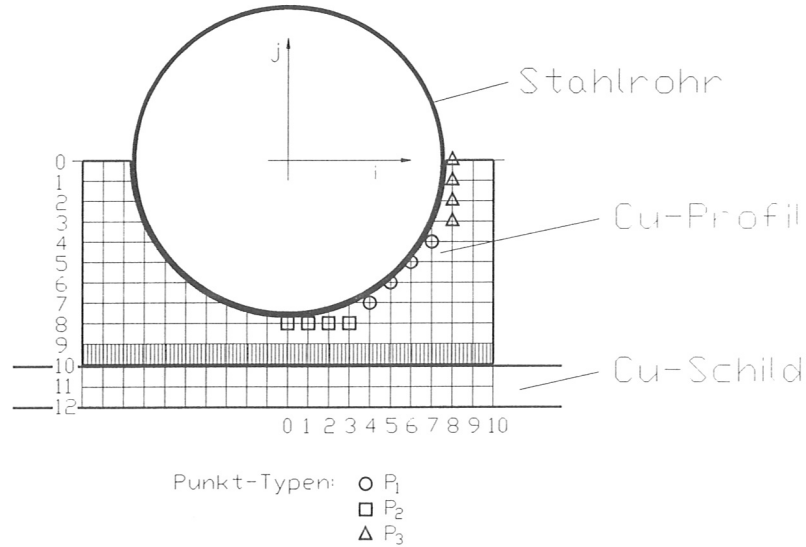


Abb. 36: Gitternetz zur numerische Berechnung der T-Verteilung in Cu-Profil und Schild

Unbestimmte Randpunktwerde werden als Mittelwert der umliegenden drei Punkte berechnet, Eckpunktwerde einfach den Werten der benachbarten inneren Punkte gleichgesetzt. Funktionswerte in der Nähe eines unregelmäßigen Randpunktes werden wie folgt bestimmt (Abb. 37):

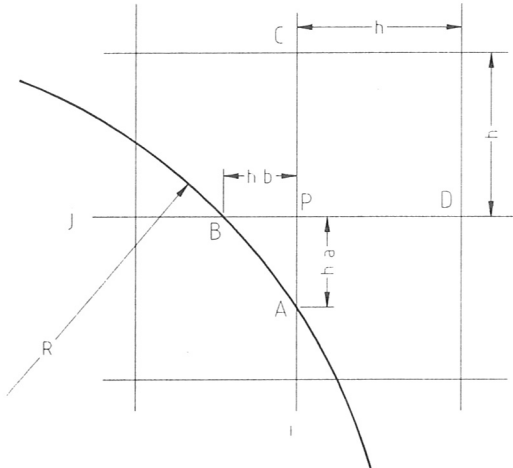


Abb. 37: Zur Berechnung von Funktionswerten am kreisförmigen Rand

$$f_P = \frac{a \cdot b}{a + b} \left[\frac{1}{1+a} \left(\frac{f_A}{a} + f_C \right) + \frac{1}{1+b} \left(\frac{f_B}{b} + f_D \right) \right]$$

A und B liegen auf dem unregelmäßigen Rand, die Punkte C und D sind die nächsten regulären Gitterpunkte. Mit dem Rand-Radius R wird für den Punkt-Typ P_1 (s. Abb. 36)

$$a = j - \sqrt{\left(\frac{R}{h}\right)^2 - i^2}$$

zwischen der halbkreisförmigen Linienkontur des Profils und dem nicht mit dem Profil verbundenen Teil des Kühlblechs berechnet werden.

$$\Delta T = 0,65 \frac{h \cdot l}{\bar{\rho}}$$

Damit kann bei bekanntem Wärmestrom die Temperaturdifferenz

für die Anordnung Abb. 36. Es ist zu beachten, daß jedes EXCEL-Feld für einen Gitterpunkt und nicht für ein Gitterfeld steht.

$$\sum_i q_i = G = 1,53$$

Die Abb. 38 zeigt das mit EXCEL berechnete Temperaturfeld mit dem Ergebnis

(Die Wärmeleitungskoeffizient λ kann bei den hier in Frage kommenden geringen Temperaturen unterschieden im Cu-Profil als konstant angenommen werden). „G“ ist ein geometriektor, der dem Verhältnis Breite zu Länge des Wärmeleitungsprofils entspricht und beispielweise bei Wärmeleitung quer zu einer Platte mit der Fläche $l \cdot b$ und der Dicke t gleich $G = b/t$ würde.

$$G = \sum_i q_i \frac{l \cdot \Delta T}{\bar{\rho}}$$

bzw.

$$\sum_i q_i = \sum_6 (T_{i,j=-10} - T_{i,j=-9}) + \frac{1}{2} [T_{i=-10,j=-10} - T_{i=10,j=-10}]$$

Werten $\lambda = 1$ und $l = 1$ wird der gesamte Wärmestrom für die Ramdelemente $i = \pm 10$ wird die halbe Elementbreite angesetzt. Mit den normierten und $T_{i,j=-10}$ bzw. $T_{i,j=-9}$ die Temperaturen an beiden Seiten des schraffierten Streifens bedeuten, wo bei λ die Wärmeleitungskoeffizient des Materials, h die Elementbreite und $-h$ die Rohrlänge

$$q_i = h \cdot l \cdot \lambda (T_{i,j=-10} - T_{i,j=-9})$$

Um eine normierte Temperaturverteilung in der Anordnung zu erhalten, wird am halbkreisförmigen Linienrand $T = 0$ und an der Schnittstelle zum gegenüberliegenden Schildeil (Punkte $i = \pm 10, -11, -12$) $T = 1$ gesetzt. Der Wärmestrom vom Cu-Schild zum Kühlrohr ergibt sich dann beispielweise aus den Temperaturdifferenzen des untersten horizontalen Streifens des Cu-Profiles (schraffiert in Abb. 36 gezeichnet). Der Wärmefluß eines Elementes beträgt

Für die Punkt-Typen P_2 und P_3 wird $b = 1$ bzw. $a = 1$ während für den jeweils anderen Abstandsfaktor die gleiche Formel wie für P_1 gilt.

$$q = i - \sqrt{\left(\frac{P_2}{h} \right)^2 - j^2}$$

und

Abb. 38 Temperaturfeld der Anordnung nach Abb. 36. Die Tabellenfelder entsprechen Gitternetzpunkten, die schraffierte Punkte dienen der Berechnung des Wärmestromes.

Abb. 39 zeigt die Temperaturdifferenzen zwischen Kühlhelium und Schild für die Einzelrohrkühlung mit Cu-Vollprofil bei 5 g/s Massenstrom (vgl. Abb. 28). Die entsprechenden Werte für antiserielle Kühlung mit 2,5 g/s pro Kühlkreis (vgl. Abb. 29) sind in Abb. 40 dargestellt (unterschiedliche Skalierung!). Der bei weitem größte Anteil der Temperaturdifferenz entsteht am Übergang vom Helium zur Rohrwand, die Differenzen über die Stahlwand und das Cu-Profil sind vernachlässigbar. Außerdem wurde die Stahlrohrwandstärke sehr konservativ mit 1 mm angenommen, tatsächlich wird sie voraussichtlich ca. 0,5 mm betragen.

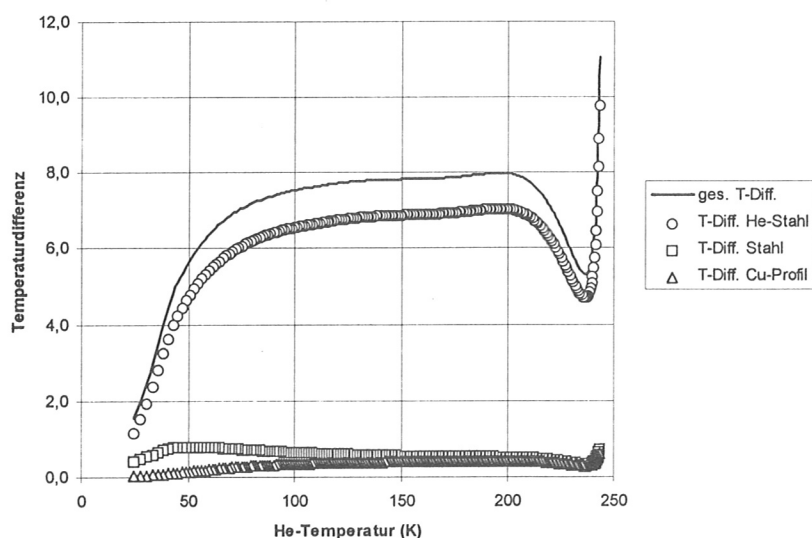
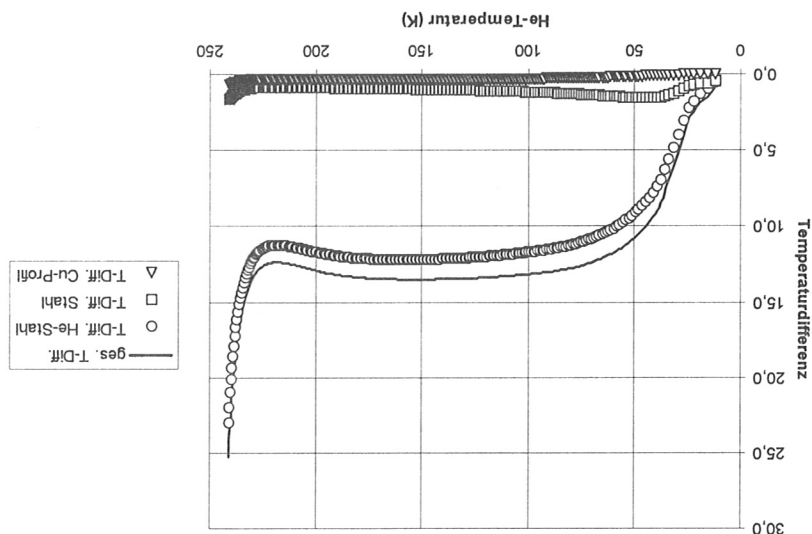


Abb. 39: T-Differenzen zwischen Helium und Kühlblech. Einzelrohrkühlung, $\Phi_i=10$ mm, Wärmeübergang über ganzen Kühlrohrumfang und halbe Rohrlänge.

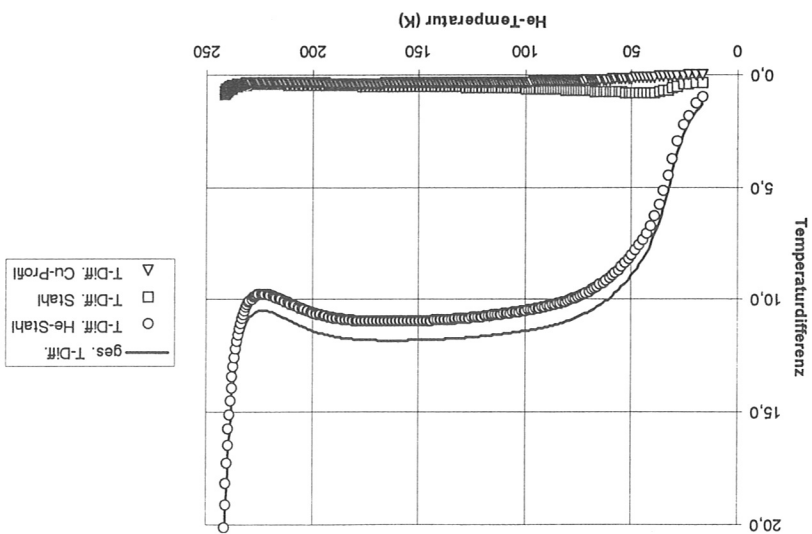
In Abb. 43 sind die Temperaturdifferenzen für Einzelrohrkühlung mit einem Rohr durchmesser von $\Phi_i = 6$ mm dargestellt, die entsprechende Abkühlkurve ist in Abb. 33 wiedergegeben. Schließlich zeigen die Abb. 44 und 45 die Differenzen für die Abkühlung der Spulen mit angekoppelter Gewölbe-Struktur mit Rohren $\Phi_i = 10$ mm bzw. $\Phi_i = 6$ mm (vgl. Abb. 34 und 35).

Abb. 41: T-Differenzen zwischen Helium und Kühlblech. Einzelrohrkühlung, $\Phi_i = 10$ mm, Wärmeübertragung über halben Kühlrohrumfang und halbe Rohrlänge.



Die Temperaturdifferenzen für Kühlung mit Cu-Halbprofil werden entsprechend größer, sie sind aus den Abb. 41 und 42 zu ersiehen (unterschiedliche Skalierung!). Die dazugehörigen Abkühlkurven sind in den Abb. 31 bzw. 32 dargestellt.

Abb. 40: T-Differenzen zwischen Helium und Kühlblech. Antistehende Kühlung, $\Phi_i = 10$ mm, Wärmeübertragung über ganzen Kühlrohrumfang und halbe Rohrlänge.



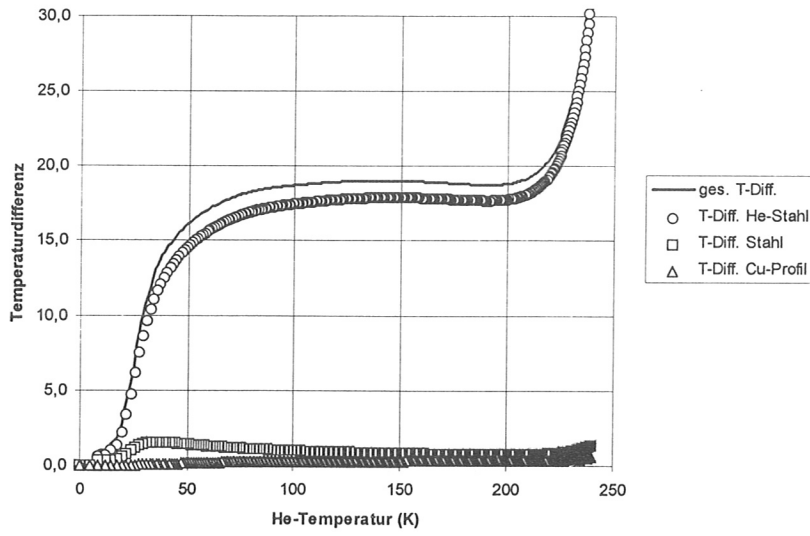


Abb. 42: T-Differenzen zwischen Helium und Kühlblech. Antiserielle Kühlung, $\Phi_i=10$ mm, Wärmeübergang über halben Kühlrohrumfang und halbe Rohrlänge.

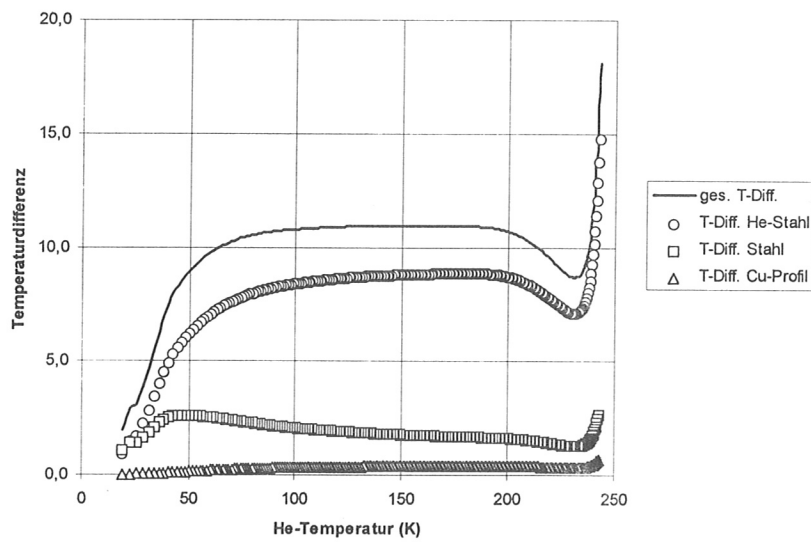
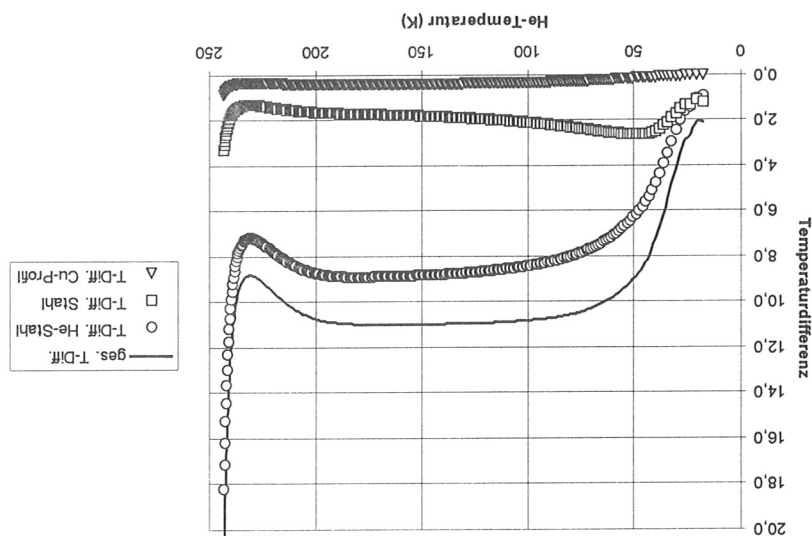


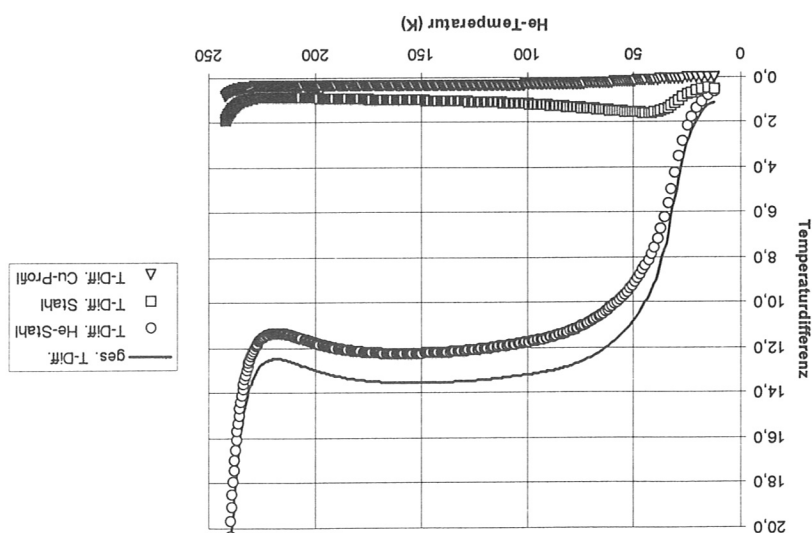
Abb. 43 T-Differenzen zwischen Helium und Kühlblech. Einzelrohrkühlung, $\Phi_i=6$ mm, Wärmeübergang über halben Kühlrohrumfang und halbe Rohrlänge.

Die Temperaturdifferenz zwischen Helium und Rohrwand ist sowohl bei den FE- als auch den vereinfachten Abkühlungsrrechnungen nach Abschnitt 2.2. berücksichtigt. Die beiden anderen Differenzen haben geringen Einfluss auf die Abkühlungsduer und sind daher vernachlässigt.

Abb. 45: Abkühlung einer MF-Spule mit angrenzender Stützstruktur. T-Differenzen über halben Kühlrohrumfang und halbe Rohrlänge.
zwischen Helium und Kühlblech. Einzelrohrkühlung, $\Phi_1 = 6$ mm, Wärmeübertragung



über halben Kühlrohrumfang und halbe Rohrlänge.
zwischen Helium und Kühlblech. Einzelrohrkühlung, $\Phi_1 = 10$ mm, Wärmeübertragung
Abb. 44: Abkühlung einer MF-Spule mit angrenzender Stützstruktur. T-Differenzen



3. Stationäre Kühlung der Spulengehäuse

Bei der Berechnung der Gehäusekühlung im Stationärbetrieb wird wegen der geringen Wärmeleitfähigkeit der Wickelkörperisolation und -bettung angenommen, daß kein Wärmeaustausch mit der Leiterkühlung stattfindet, d.h. daß das Gehäuse vom Wickelkörper her weder gekühlt noch durch Supraleiterverluste zusätzlich erwärmt wird. Das ist genau dann der Fall, wenn die Gehäuseterminatur im Mittel dieselbe Temperatur des Wickelpaketes besitzt. (Der Zusammenhang zwischen Spulenkörper- und Gehäusekühlung wird in Ref. 8 diskutiert.) Die Kälteanlage wird so flexibel ausgelegt, daß diese Voraussetzung eingehalten oder die Kühlung der einen Komponente durch die andere unterstützt werden könnte. Es ist jedoch nur sinnvoll und wegen des hohen Druckabfalls in den Supraleiterkabeln auch effizienter, den Wickelkörper über das Gehäuse mitzukühlen als umgekehrt.

Für eine MF-Spule samt dazugehörenden Gewölbeelementen wird mit einer der Wärmestrahlung ausgesetzten Oberfläche von 13 m^2 und konservativ mit Strahlungsverlusten von $\dot{q}_{\text{Strahlung}} \approx 0,2 \text{ W/m}^2$ gerechnet. Es wird weiters vorausgesetzt, daß ein Vakuum von $\leq 10^{-5} \text{ mbar}$ im Kryostaten gehalten werden kann und somit zusätzliche Verluste durch Restgaswärmeleitung von $\approx 0,1 \text{ W/m}^2$ auftreten [5]. Von einem Gehäusekühlkreis sind daher maximal ca. 4 W abzuführen.

Im Gegensatz zur Abkühlung wird für den Stationärbetrieb eine bessere Wärmeleitfähigkeit des Gehäuse- und Gewölbeschildes benötigt. Es muß sauerstofffreies und weichgeglühtes Kupfer verwendet werden, so daß im mittleren Feld von 3 T mit $\text{RRR} \geq 50$, somit mit einer Wärmeleitfähigkeit von $\lambda \geq 240 \text{ W/mK}$ gerechnet werden kann.

Die Temperaturdifferenz zwischen dem Kühlrohr und der gegenüberliegenden inneren Gehäuseseite (s. Abb. 12) kann nach der Gl.

$$\Delta T_{\text{Cu-Schild}} = \frac{\dot{q} \cdot U^2}{8 \cdot \lambda \cdot s}$$

berechnet werden, wobei $\dot{q} = 0,3 \text{ W/m}^2$ die Wärmezufuhr pro Flächeneinheit, $U \approx 1,2 \text{ m}$ den Umfang des Spulenquerschnittes und $s = 1 \text{ mm}$ die Dicke des Bleches bedeuten. Rechnerisch ergibt sich damit $\Delta T_{\text{Cu-Schild}} \approx 0,23 \text{ K}$. An den Verbindungsstellen zwischen Gewölbestruktur und Spulengehäuse muß die thermische Ankopplung der inneren (der unteren in Abb. 12) Gehäuseoberfläche zum Kühlrohr über geeignete Cu-Leiter erfolgen, die ungefähr denselben Querschnitt besitzen wie das entsprechende Schildblech. Unter Berücksichtigung praktikabler konstruktiver Lösungen dieses Problems ist eine realistische Annahme

$$\Delta T_{\text{Cu-Schild}} = 0,30 \text{ K.}$$

Für die Temperaturdifferenz über das Cu-Halbprofil folgt aus Abschn. 2.3.

$$\Delta T_{\text{Cu-Profil}} = 0,65 \frac{\dot{Q}}{\lambda \cdot l}$$

Schließlich ist noch zu berücksichtigen, daß das Kühlelement pro Spule 4 W aufnimmt. Für die beidien Massenstrome $2,5 \text{ g/s}$ und 5 g/s werden die Temperaturdifferenzen zwischen dem Heliumzulauf und -abfluss $0,48 \text{ K}$ bzw. $0,24 \text{ K}$, unabhängig von der verwendeten Kühlohrschaalung am Gehäuse. Im Unterschied zu den oben betrachteten Temperaturdifferenzen ist dies ein Effekt, der über den ganzen Spulenumfang und nicht nur über den Querschnitt wirksam ist. Da eine Supraleiter-Kabel läßt, die gleichzeitig einen Leiter-Kuhllampe entspricht, die Spule als Doppellage in 20 Windungen umläuft, ist nur der Mittelwert der Gehäuseteempertatur für die Supraleiterkuhllampe relevant. Dies gilt auch für die schließlich im Hochfeld liegende innere Gehäuseseite (dem Kühlrohr gegenüber, s. Abb. 12) am nächsten kritischen, im Hochfeld gekühlten innern Gehäuseteil. Letztalage bestehend aus 10 Windungen, die der Kühlrohr gekühlten innern Gehäuseseite (dem Kühlrohr gegenüber gegenüber, s. Abb. 12) am nächsten liegt. Es kann daher mit einem „effektiven“ Temperaturerhöhung des Kühlheliums von

Diese Weise reduzieren sich bei Verwendung eines Cu-Vollprofils wiederrum auf die Hälfte.

$\Phi_i = 6 \text{ mm}$	$\Delta T_{\text{He-Wand}} = 0,12 \text{ K}$	$\Delta T_{\text{He-Wand}} = 0,07 \text{ K}$
$m = 2,5 \text{ g/s}$	$m = 5 \text{ g/s}$	

Für die Temperaturdifferenzen zwischen dem Kühlhelium und der Rohrwand werden vier Fälle unterschieden, es ergibt sich unter den obigen Bedingungen die folgenden Werte:

Bei Verwendung einiger Cu-Vollproteins reduzieren sich diese Werte auf die Hälfte.

und $\Delta T_{\text{Stahlwand}, 6 \text{mm-Rohr}} = 0,16 \text{ K}$.

wobei die Wandstärke jetzt mit $s = 0,3$ mm realistisch angesetzt wird und die Wärmeleitfähigkeit $\lambda = 0,28 \text{ W/mK}$ (Tab. 3) beträgt. Unter Berücksichtigung eines Cu-Halbprofils mit $\lambda_{Cu} = 0,47 \text{ W/mK}$ wird nun die Wärmeleitung über die gesamte Wanddicke hinweg berechnet. Mit $\dot{Q}/A = 0,47 \text{ W/m}$ ergibt sich daraus

$$\Delta T_{\text{Stahlwand}} = \frac{\alpha \cdot A}{s \cdot \bar{\rho}}$$

Der Temperaturabfall über die Stahlwand des Kühlrohrs wird

die damit praktisch vermacl̄lassigbar ist.

$$\Delta T_{Cu-Profil} = 0,01 \text{ K}$$

Mit der Spülmenge 8,6 m und den Strahlungsvерlusten pro Spül von 4 W wird $\dot{Q}/A = 0,47 \text{ W/m}$. Mit der Wärmeleitfähigkeit $\lambda = 60 \text{ W/mK}$ des eher schlechten Kupfers nach Tab. 4 und bei Kontaktierung über den halben Spülenumfang folgt für die Temperaturdifferenz

$$\Delta T_{He, 2,5 \text{ g/s}} = 0,24 \text{ K}$$

bzw.

$$\Delta T_{He, 5 \text{ g/s}} = 0,12 \text{ K.}$$

gerechnet werden.

Damit ergeben sich folgende Gesamt-Temperaturdifferenzen für die Massenströme 2,5 g/s und 5 g/s bei jeweils 5 bar sowie Rohr-Innendurchmessern von 6 mm und 10 mm:

Bei Verwendung eines Cu-Halbprofils

	$\dot{m} = 2,5 \text{ g/s}$	$\dot{m} = 5 \text{ g/s}$
$\Phi_i = 6 \text{ mm}$	$\Delta T_{\text{ges.}} = 0,83 \text{ K}$	$\Delta T_{\text{ges.}} = 0,66 \text{ K}$
$\Phi_i = 10 \text{ mm}$	$\Delta T_{\text{ges.}} = 0,84 \text{ K}$	$\Delta T_{\text{ges.}} = 0,64 \text{ K}$

Bei Verwendung eines Cu-Vollprofils

	$\dot{m} = 2,5 \text{ g/s}$	$\dot{m} = 5 \text{ g/s}$
$\Phi_i = 6 \text{ mm}$	$\Delta T_{\text{ges.}} = 0,68 \text{ K}$	$\Delta T_{\text{ges.}} = 0,54 \text{ K}$
$\Phi_i = 10 \text{ mm}$	$\Delta T_{\text{ges.}} = 0,69 \text{ K}$	$\Delta T_{\text{ges.}} = 0,53 \text{ K}$

Aus den Tabellen ist unmittelbar ersichtlich, daß der Rohrdurchmesser im Gegensatz zur Abkühlung praktisch keinen Einfluß auf die stationäre Kühlung hat.

Die Kälteanlage wird so ausgelegt, daß He-Eingangstemperaturen sowohl bei der Leiter- als auch Gehäusekühlung zwischen 3,5 und 3,6 K möglich sind. Beim Betrieb mit den höchst-zulässigen Supraleiterverlusten von 6 mW/m kann daher die "effektive" Gehäusetemperatur überall auf dem geforderten Wert von ca. 4,2 K gehalten werden [8]. Ob nun ein Cu-Vollprofil, Halbprofil oder ein anderes als Kühlrohrhalterung verwendet wird, auch unter Einbeziehung von Machbarkeits- und Wirtschaftlichkeitsüberlegungen zu entscheiden.

4 Materialdaten

Temperatur K	Dichte ρ kg/m^3	spezifische Wärme C_p $J/(kg \text{ K})$	Wärme- leitfähigkeit λ $W/(m \text{ K})$	Viskosität μ $\mu \text{Pa s}$
4	142.89	3321	0.0208	4.1
5	128.98	4846	0.0219	3.6
6	102.08	10042	0.0212	2.9
7	59.44	11647	0.0179	2.4
8	41.34	8505	0.0177	2.4
9	32.87	7241	0.0183	2.5
10	27.76	6635	0.0191	2.6
15	16.51	5710	0.0233	3.2
20	12.05	5472	0.0273	3.7
30	7.93	5312	0.0345	4.7
40	5.94	5257	0.0410	5.6
50	4.76	5231	0.0472	6.4
60	3.97	5218	0.0530	7.2
70	3.40	5210	0.0586	7.9
80	2.98	5205	0.0639	8.6
100	2.39	5199	0.0741	9.8
150	1.60	5195	0.0973	12.5
200	1.20	5193	0.1183	15.2
250	0.96	5193	0.1378	17.6
300	0.80	5193	0.1563	19.9

Table 2: Materialienenschaften für Helium [1, 10] bei $p = 5$ bar

Tabelle 3: Materialeigenschaften für Stahl [2] ($\delta=7900 \text{ kg/m}^3$)

Temperatur T K	spezifische Wärme c_p J/(kg K)	Wärme- leitfähigkeit λ W/(m K)	spezifischer Widerstand ρ_{el} $10^{-8}\Omega\text{m}$
4	1.88	0.277	49.0
5	2.37	0.30	49.0
10	5.02	0.77	49.0
20	12.6	1.95	49.1
30	29.3	3.3	49.5
40	57.8	4.7	50.0
50	100	5.8	50.5
60	128	6.8	51.0
70	167	7.6	52.0
80	197	8.3	53.0
100	250	9.4	54.5
150	347	11.5	60.0
200	419	13.0	64.0
250	439	14.1	68.0
300	477	14.9	72.0

Tabelle 4: Materialeigenschaften für Kupfer [2] (RRR=10; $\delta=8960 \text{ kg/m}^3$)

Temperatur T K	spezifische Wärme c_p J/(kg K)	Wärme- leitfähigkeit λ W/(m K)	spezifischer Widerstand ρ_{el} $10^{-8}\Omega\text{m}$
4	0.0896	57.1	0.171
5	0.14	71.4	0.171
10	0.85	142	0.171
20	7.27	278	0.172
30	26.6	384	0.178
40	59.0	428	0.197
50	95.5	419	0.234
60	135	390	0.284
70	173	366	0.346
80	205	350	0.417
100	245	339	0.569
150	323	342	0.941
200	356	350	1.29
250	374	355	1.62
300	386	358	1.96

Temperatur	spezifische	Wärme-	Wärme-	Leitfähigkeit	Wärme-	K	c_p	λ	T
									$J/(kg \cdot K)$
4	0.276	35.5	0.276	44.3	0.276	5	0.388	44.3	10 \cdot 8Jm
10	1.4	88.5	0.276	0.277	0.277	20	8.9	174	0.277
30	31.5	249	0.284	0.284	0.284	40	77.5	294	0.304
50	142	300	0.346	0.346	0.346	60	214	283	0.414
70	287	261	0.504	0.504	0.504	80	357	241	0.611
100	481	213	0.849	0.849	0.849	150	684	200	1.44
200	797	204	2.00	2.00	2.00	200	797	204	2.00
300	859	208	2.54	2.54	2.54	250	859	208	2.54
4	0.708	0.0479	0.0479	0.0511	1.73	5	1.73	0.0511	10
10	15	0.0562	0.0562	0.070	170	30	170	0.070	20
20	80	0.070	0.070	0.080	230	40	230	0.080	30
30	170	0.070	0.070	0.090	230	60	350	0.100	60
40	230	0.070	0.070	0.090	230	70	500	0.117	70
50	350	0.100	0.100	0.125	350	60	420	0.108	80
60	350	0.100	0.100	0.125	350	70	500	0.117	70
70	500	0.100	0.100	0.148	500	100	730	0.148	100
80	600	0.100	0.100	0.186	600	150	1000	0.186	150
90	700	0.100	0.100	0.200	700	200	1200	0.200	200
100	730	0.100	0.100	0.211	730	250	1500	0.211	250
110	760	0.100	0.100	0.216	760	300	1880	0.216	300

Tabelle 6: Materialeigenschaften für Epoxidharz [2] ($\rho = 1150 \text{ kg/m}^3$)

Temperatur	spezifische	Wärme-	Wärme-	Leitfähigkeit	Wärme-	K	c_p	λ	T
									$J/(kg \cdot K)$
4	0.276	35.5	0.276	44.3	0.276	5	0.388	44.3	10 \cdot 8Jm
10	1.4	88.5	0.276	0.276	0.276	20	8.9	174	0.277
20	14	88.5	0.276	0.276	0.276	30	31.5	249	0.284
30	31.5	249	0.284	0.284	0.284	40	77.5	294	0.304
40	77.5	294	0.304	0.304	0.304	50	142	300	0.346
50	142	300	0.346	0.346	0.346	60	214	283	0.414
70	287	261	0.504	0.504	0.504	80	357	241	0.611
100	481	213	0.849	0.849	0.849	150	684	200	1.44
200	797	204	2.00	2.00	2.00	250	859	208	2.54
300	859	208	2.54	2.54	2.54	400	1000	210	3.09

Tabelle 5: Materialeigenschaften für Aluminium [2] (RRR=10; $\rho = 2700 \text{ kg/m}^3$)

5 Literaturverzeichnis

Literatur

- [1] Cryodata Inc., Niwot, CO 80544, *User's guide to HEPAK*, 3.30 ed., November 1994.
- [2] Cryodata Inc., Florence, SC 29501, *User's guide to CRYOCOMP*, 2.0 ed., January 1995.
- [3] A. Hofmann, *Abkühlversuch an einer Verbundplatte*, EVI-X-Bericht 601, LINDE AG, München, 1997.
- [4] O. Jandl and G. Krainz, *Temperaturverteilung im 80 K Kälteschild eines Kryostaten*, Computational Mechanics'97 (University of West Bohemia in Pilsen), vol. 13, Czech Society of Mechanics, October 1997, pp. 119–126.
- [5] P. Komarek, *Hochstromanwendung der Supraleitung*, Teubner Studienbücher, Stuttgart, 1995.
- [6] A. Nitsche, *Untersuchung der Wirbelströme in den Spulengehäusen von W7-X bei einer Schnellentregung*, AAE-T01.0, IPP/MPG, Garching, Mai 1997.
- [7] SAS IP, Inc., Houston, PA 15342-0065, *ANSYS reference manuals*, 5.3 ed., October 1996.
- [8] F. Schauer, *Cooling of the W7-X superconducting coils*, ICEC/ICMC Cryogenic Conference (Kitakyushu, Japan), ICEC/ICMC, May 1996.
- [9] F. Schauer, W. Bitter, R. Holzthüm, S. Huber, N. Jaksic, S. Kamm, F. Kerl, H. Münch, J. Simon-Weidner, B. Sombach, and J. Tretter, *Demonstration cryostat sector for Wendelstein 7-X*, 18th Symposium on Fusion Technology (Karlsruhe, Germany), EURATOM, August 1994.
- [10] S. W. Van Sciver, *Helium Cryogenics*, Plenum Press, New York, 1986.
- [11] Verein Deutscher Ingenieure, Düsseldorf, *VDI Wärmeatlas: Berechnungsblätter für den Wärmeübergang*, 4. ed., 1984.
- [12] C. R. Wylie and L. C. Barret, *Advanced Engineering Mathematics*, 5th ed., McGraw-Hill, 1982, S. 551 ff.

```

yS1=0.284
xS1=0.221
yS0=-0.028
xS0=-0.049
yI1L=0.234
xI1L=0.191
yI0=-0.018
xI0=-0.019
yA1L=0.216
xA1L=0.172
yA0=0.0
xA0=0.0
iAluminium section (units in [m])
xaL=0.216
yaL=0.172
ya0=0.0
iInsulation section (units in [m])
xaL=0.216
yaL=0.172
ya0=0.0
iAluminium section (units in [m])
/com, CROSS SECTION DIMENSION OF W7-X NON-PLANAR COIL
ntrace=96 ! number of nodal points along circumference trace
izL0=384 ! number of co-sys points=96*4
nscale,0,a1L,,1.0e-3,1.0e-3 ! scale nodes in units [m]
nread,spl,node
/com, READ CO-ORDINATES FROM FILE
*endif
choice=1
*if,choice,eq,4,then
! model for warm-up uses the model for single tube cooling (choice=1)
*****IMPORTANT PARAMETERS*****
choice = 1 ! cooling tube config. (1=mono, 2=serial, 3=anti-serial, 4=warm-up)
/com, ELEMENT TYPES
/prep7
/filename,coil1
/com, (2*2 elements for SC)
/com, 13/1/1998 grk/IPP (Last update: 29/4/1998)
/com, DIFFERENT COOLING LOOP CONFIGURATIONS
/com, MFMODEL.DAT BATCH TO MODEL A W7-X NON-PLANAR COIL
/batch
models fur die transiente FE-Berechnungen mit ANSYSTM.
Das folgende Listing zeigt die BATCH Datei zur Erstellung und Verneutzung des Spulen-
```

6.1 Programmierung des FE-Modelles

6 Anhang

```

!copper section (units in [m])
xc0=-0.050
yc0=-0.029
xcl=0.222
ycl=0.285
!helium section (units in [m])
tubedist=0.01
izl=izl0

/com, GENERATE NODAL POINTS ALONG COIL CIRCUMFERENCE
*do,j,1,ntrace
!coord-system-local
iz1=(j-1)*4
j1=iz1+4 ! local center (k4)
j2=j1-1 ! local x-axis (k3)
j3=j1-3 ! local y-axis (k1)
cs,11,,j1,j2,j3
! superconductor area
izl=izl+1
xx=xa0
yy=ya0
n,izl,xx,yy !p1
izl=izl+1
xx=xa0
yy=yal*.5
n,izl,xx,yy !p2
izl=izl+1
xx=xa0
yy=yal
n,izl,xx,yy !p3
izl=izl+1
xx=xal*.5
yy=yal
n,izl,xx,yy !p4
izl=izl+1
xx=xal
yy=yal
n,izl,xx,yy !p5
izl=izl+1
xx=xal
yy=yal*.5
n,izl,xx,yy !p6
izl=izl+1
xx=xal
yy=ya0
n,izl,xx,yy !p7
izl=izl+1
xx=xal*.5
yy=ya0
n,izl,xx,yy !p8

```

```

    n,izl,xx,yy ip20
    yy=ysl
    xx=xso
    izl=izl+1
    n,izl,xx,yy ip19
    yy=(yso+ysl)*.5
    xx=xso
    izl=izl+1
    n,izl,xx,yy ip18
    yy=ys0
    xx=xso
    izl=izl+1
    ; outer shape of stationary steel housing
    n,izl,xx,yy ip17
    yy=yi0
    xx=(xi0+xi1)*.5
    izl=izl+1
    n,izl,xx,yy ip16
    yy=yi0
    xx=xi1
    izl=izl+1
    n,izl,xx,yy ip15
    yy=(yi0+yi1)*.5
    xx=xi1
    izl=izl+1
    n,izl,xx,yy ip14
    yy=yi1
    xx=xi1
    izl=izl+1
    n,izl,xx,yy ip13
    yy=yi1
    xx=(xi0+xi1)*.5
    izl=izl+1
    n,izl,xx,yy ip12
    yy=yi1
    xx=xio
    izl=izl+1
    n,izl,xx,yy ip11
    yy=(yi0+yi1)*.5
    xx=xio
    izl=izl+1
    n,izl,xx,yy ip10
    yy=yi0
    xx=xio
    izl=izl+1
    ; outer shape of insulation
    n,izl,xx,yy ip9
    yy=yia*.5
    xx=xia*.5
    izl=izl+1

```

```

izl=izl+1
xx=(xs0+xsl)*.5
yy=ysl
n,izl,xx,yy !p21
izl=izl+1
xx=xsl
yy=ysl
n,izl,xx,yy !p22
izl=izl+1
xx=xsl
yy=(ys0+ysl)*.5
n,izl,xx,yy !p23
izl=izl+1
xx=xsl
yy=ys0
n,izl,xx,yy !p24
izl=izl+1
xx=(xs0+xsl)*.5
yy=ys0
n,izl,xx,yy !p25
! outer shape of copper shield
izl=izl+1
xx=xc0
yy=yc0
n,izl,xx,yy !p26
izl=izl+1
xx=xc0
yy=(yc0+ycl)*.5
n,izl,xx,yy !p27
izl=izl+1
xx=xc0
yy=ycl
n,izl,xx,yy !p28
izl=izl+1
xx=(xc0+xc1)*.5
yy=ycl
n,izl,xx,yy !p29
izl=izl+1
xx=xcl
yy=ycl
n,izl,xx,yy !p30
izl=izl+1
xx=xcl
yy=(yc0+ycl)*.5
n,izl,xx,yy !p31
izl=izl+1
xx=xcl
yy=yc0
n,izl,xx,yy !p32
izl=izl+1

```

```

n3=izl+2
n2=izl+11
n1=izl+10
nj=ntrace
type,1
real,1
mat,4

! INSULATION SECTION
genelем ! macro to generate elements by use of nodes
n4=izl+7
n3=izl+6
n2=izl+9
n1=izl+8
nj=ntrace
genelем ! macro to generate elements by use of nodes
n4=izl+6
n3=izl+5
n2=izl+4
n1=izl+9
nj=ntrace
genelем ! macro to generate elements by use of nodes
n4=izl+9
n3=izl+4
n2=izl+3
n1=izl+2
nj=ntrace
genelем ! macro to generate elements by use of nodes
n4=izl+8
n3=izl+9
n2=izl+2
n1=izl+1
nj=ntrace
type,1
real,1
mat,3

! ALUMINUM SECTION
elnumm=0 ! initial element number
npPlane=34 ! number of nodal points in the cross section plane
izl=izl0
/com, GENERATE ELEMENTS FROM NODAL POINTS

*enddo
n,izl,xx,yy ip34
yy=yc1+tubedist
xx=(xc0+xc1)*.5
izl=izl+1
; cooling channel
n,izl,xx,yy ip33
yy=yco
xx=(xc0+xc1)*.5

```

```

n4=izl+1
genelem ! macro to generate elements by use of nodes
nj=ntrace
n1=izl+11
n2=izl+12
n3=izl+3
n4=izl+2
genelem ! macro to generate elements by use of nodes
nj=ntrace
n1=izl+3
n2=izl+12
n3=izl+13
n4=izl+4
genelem ! macro to generate elements by use of nodes
nj=ntrace
n1=izl+4
n2=izl+13
n3=izl+14
n4=izl+5
genelem ! macro to generate elements by use of nodes
nj=ntrace
n1=izl+6
n2=izl+5
n3=izl+14
n4=izl+15
genelem ! macro to generate elements by use of nodes
nj=ntrace
n1=izl+7
n2=izl+6
n3=izl+15
n4=izl+16
genelem ! macro to generate elements by use of nodes
nj=ntrace
n1=izl+17
n2=izl+8
n3=izl+7
n4=izl+16
genelem ! macro to generate elements by use of nodes
nj=ntrace
n1=izl+10
n2=izl+1
n3=izl+8
n4=izl+17
genelem ! macro to generate elements by use of nodes
! STEEL SECTION
mat,2
real,1
type,1
nj=ntrace
n1=izl+18

```

```

        type,1
real,1
mat,1

; COPPER SECTION
genellem ! macro to generate elements by use of nodes
n4=izl+25
n3=izl+17
n2=izl+10
n1=izl+18
nj=ntracce
genellem ! macro to generate elements by use of nodes
n4=izl+24
n3=izl+16
n2=izl+17
n1=izl+25
nj=ntracce
genellem ! macro to generate elements by use of nodes
n4=izl+24
n3=izl+23
n2=izl+15
n1=izl+16
nj=ntracce
genellem ! macro to generate elements by use of nodes
n4=izl+23
n3=izl+22
n2=izl+14
n1=izl+15
nj=ntracce
genellem ! macro to generate elements by use of nodes
n4=izl+23
n3=izl+21
n2=izl+13
n1=izl+13
nj=ntracce
genellem ! macro to generate elements by use of nodes
n4=izl+13
n3=izl+21
n2=izl+20
n1=izl+12
nj=ntracce
genellem ! macro to generate elements by use of nodes
n4=izl+11
n3=izl+12
n2=izl+20
n1=izl+19
nj=ntracce
genellem ! macro to generate elements by use of nodes
n4=izl+10
n3=izl+11
n2=izl+19

```

```
nj=ntrace
n1=izl+26
n2=izl+27
n3=izl+19
n4=izl+18
gencuel ! macro to generate copper elements by use of nodes
nj=ntrace
n1=izl+27
n2=izl+28
n3=izl+20
n4=izl+19
gencuel ! macro to generate copper elements by use of nodes
nj=ntrace
n1=izl+20
n2=izl+28
n3=izl+29
n4=izl+21
gencuel ! macro to generate copper elements by use of nodes
nj=ntrace
n1=izl+21
n2=izl+29
n3=izl+30
n4=izl+22
gencuel ! macro to generate copper elements by use of nodes
nj=ntrace
n1=izl+23
n2=izl+22
n3=izl+30
n4=izl+31
gencuel ! macro to generate copper elements by use of nodes
nj=ntrace
n1=izl+24
n2=izl+23
n3=izl+31
n4=izl+32
gencuel ! macro to generate copper elements by use of nodes
nj=ntrace
n1=izl+33
n2=izl+25
n3=izl+24
n4=izl+32
gencuel ! macro to generate copper elements by use of nodes
nj=ntrace
n1=izl+26
n2=izl+18
n3=izl+25
n4=izl+33
gencuel ! macro to generate copper elements by use of nodes
! HELIUM PIPE
mat,5
```

```

*enddo
en,elenuum,n3,n1,n4,n2
elenuum=elenuum+1
n4=n4+nplane
n3=n3+nplane
n2=n2+nplane
n1=n1+nplane
*do,j,2,47
en,elenuum,n3,n1,n4,n2
elenuum=elenuum+1
n4=n4+nplane
n3=n3+nplane
n2=i2l+48*nplane+29
n1=i2l+48*nplane+34
! Cooling half coil in direction CW
*enddo
en,elenuum,n1,n3,n2,n4
elenuum=elenuum+1
n4=n4+nplane
n3=n3+nplane
n2=n2+nplane
n1=n1+nplane
*do,j,2,48
en,elenuum,n1,n3,n2,n4
elenuum=elenuum+1
n4=n4+nplane
n3=n3+nplane
n2=i2l+29
n1=i2l+34
! Cooling half coil in direction CW
! TWO tubes for anti-serial cooling
*elseif,choice,eq,1
allsel
edle,all
esel,s,elem,,1921+48,2775,95
allsel
gentube
n2=i2l+29
n1=i2l+34
nj=ntracce
! TWO tubes for serial cooling
*elseif,choice,eq,2
allsel
gentube
n2=i2l+29
n1=i2l+34
nj=ntracce
! ONE tube for cooling
*if,choice,eq,1
type,2
real,2

```

```

allsel
esel,s,elem,,1921+48,2775,95
edelete,all
allsel
*else
*msg,error
WRONG CHOICENUMBER
*endif

/com, WRITE NODES AND ELEMENTS TO FILE
allsel
nall
eall
nwrite
ewrite
save
fini

```

Die Batch Datei MFMODEL.DAT ruft die folgenden Makros zur Erstellung der Spulenelemente, der Kupfersegmente und der Kühlleiterelemente auf:

```

/com, GENELEM.MAC - MACRO TO GENERATE ELEMENTS BY USE OF NODES
/com, 13/1/1998 grk/IPP (last update: 13/1/1998)
n1e=n1
n2e=n2
n3e=n3
n4e=n4
n5=n1+nplane
n6=n2+nplane
n7=n3+nplane
n8=n4+nplane
elemnum=elemnum+1
en,elemnum,n1,n2,n3,n4,n5,n6,n7,n8
*do,j,2,(nj-1)
n1=n1+nplane
n2=n2+nplane
n3=n3+nplane
n4=n4+nplane
n5=n5+nplane
n6=n6+nplane
n7=n7+nplane
n8=n8+nplane
elemnum=elemnum+1
en,elemnum,n1,n2,n3,n4,n5,n6,n7,n8
*enddo
j=j+1
n1=n1+nplane

```

```

*enddo
en,elемнум,н1,н3,н2,н4
elемнум=elемнум+1
n4=n4+npLane
n3=n3+npLane
n2=n2+npLane
n1=n1+npLane
*do, j, 2, (nj-1)
en,elемнум,н1,н3,н2,н4
elемнум=elемнум+1
n4=n2+npLane
n3=n1+npLane
n2=n2
n1=n1
/com, 15/1/1998 grk/IPP (last update: 24/3/1998)
/com, GENPIPE.MAC - MACRO TO GENERATE TUBE ELEMENTS BY USE OF NODES

```

```

*enddo
en,elемнум,н1,н2,н3,н4,н5,н6,н7,н8
elемнум=elемнум+1
n8=n8+npLane
n7=n7+npLane
n6=n6+npLane
n5=n5+npLane
n4=n4+npLane
n3=n3+npLane
n2=n2+npLane
n1=n1+npLane
*do, j, 2, (nj-1)
en,elемнум,н1,н2,н3,н4,н5,н6,н7,н8
elемнум=elемнум+1
n8=n4+npLane
n7=n3+npLane
n6=n2+npLane
n5=n1+npLane
/com, 19/1/1998 grk/IPP (last update: 19/1/1998)
/com, GENCUEL.MAC - MACRO TO GENERATE COPPER ELEMENTS BY USE OF NODES

```

```

en,elемнум,н1,н2,н3,н4,н5,н6,н7,н8
elемнум=elемнум+1
n8=n4
n7=n3
n6=n2
n5=n1
n4=n4+npLane
n3=n3+npLane
n2=n2+npLane

```

6.2 Programmierung der FE-Simulation

Mit den Modelldaten, gespeichert in MFCOIL.NODE und MFCOIL.ELEM, lässt sich die transiente Berechnung der Magnetspulenabkühlung mit der Batch-Datei MFSOLU.DAT durchführen.

```
/batch
/config,nres,10000
/com, COIL1S2.DAT BATCH TO SOLVE THERMAL MODEL FOR W7-X COIL
/com, ONE COOLING TUBE ALONG THE COIL CIRCUMFERENCE
/com, 16/1/1998 grk/IPP (last update: 18/7/1998)
/com, (2*2 elements for SC)

/title, MF COIL COOLING WITH 1 TUBE FROM 300K TO 5K (dTHe=50K)
/filenam,mfcoil ! coil with 1 cooling tube

! ***** PREP 7 *****
/prep7
et,1,70
et,2,66
nread
eread

!*****IMPORTANT PARAMETER*****
choice = 3 ! cooling tube config. (1=mono, 2=serial, 3=anti-serial, 4=warm-up)
maxcnt = 301 ! max. number of samples
tamb=300 ! [K] ambient temperature
tmin=5 ! [K] final He temperature
tdiff=50 ! [K] max. temperature difference
dhyd=10.0e-3 ! [m] hydraulic diameter of cooling tube
msingle=0.005 ! [kg/s] He mass-flow for single cooling tube
mserial=msingle/2 ! [kg/s] He mass-flow for serial cooling tube
!*****



/com, MATERIAL PROPERTIES
! UNITS:
! T ..... temperature [K]
! kxx .... thermal conductivity [W/(m K)]
! c ..... specific heat [J/(kg K)]
! dens ... density [kg/m3]
! visc ... viscosity [Pa s]
! hf ..... heat transfer coefficient [W/(m2 K)]
! Copper (mat=1) 4..300K [data determined from CRYOCOMP 2.0]
mptemp,1,4.0,5.0,10.0,20.0,30.0,40.0
mptemp,7,50.0,100.0,150.0,200.0,250.0,300.0
```

```

mpitemp,1,4.0,5.0,6.0,7.0,8.0,9.0
! Helium (mat=5) 4..300k, Bbar [data determined from HEPAK 3.3]
mpdata,dens,4,1,1150.

mpdata,c,4,7,350.,730.,1000.,1200.,1500.,1880.

mpdata,c,4,1,0.708,1.73,15.,80.,170.,230.

mpdata,kzz,4,7,0.1,0.148,0.186,0.2,0.211,0.216
mpdata,kzz,4,1,0.0479,0.0511,0.0562,0.07,0.08,0.09
mpdata,kyy,4,7,0.1,0.148,0.186,0.2,0.211,0.216
mpdata,kyy,4,1,0.0479,0.0511,0.0562,0.07,0.08,0.09
mpdata,kxx,4,7,0.1,0.148,0.186,0.2,0.211,0.216
mpdata,kxx,4,1,0.0479,0.0511,0.0562,0.07,0.08,0.09
mpdata,kxx,4,7,50.,0,100.0,150.0,200.0,250.0,300.0
mpitemp,1,4.0,5.0,10.0,20.0,30.0,40.0
! Epoxy (mat=4) 4..300k [data determined from CRYOCOMP 2.0]
mpdata,dens,3,1,4049.

mpdata,c,3,7,131.98,430.14,610.3,702.,750.4,773.5
mpdata,c,3,1,0.236,0.335,0.934,8.55,30.44,73.51
mpdata,kzz,3,7,325.6,240.2,232.3,235.5,243.8,241.9
mpdata,kzz,3,1,40.16,50.14,100.,196.4,278.1,322.9
mpdata,kyy,3,7,325.6,240.2,232.3,235.5,243.8,241.9
mpdata,kyy,3,1,40.16,50.14,100.,196.4,278.1,322.9
mpdata,kxx,3,7,325.6,240.2,232.3,235.5,243.8,241.9
mpdata,kxx,3,1,40.16,50.14,100.,196.4,278.1,322.9
mpitemp,7,50.0,100.0,150.0,200.0,250.0,300.0
mpitemp,1,4.0,5.0,10.0,20.0,30.0,40.0
! Alu/Cu=3.64 for Advanced superconductor
! Alum+Copper (mat=3) 4..300k [data determined from CRYOCOMP 2.0]
mpdata,dens,2,1,7900.

mpdata,c,2,7,100.,250.,347.,419.,439.,477.
mpdata,c,2,1,1.88,2.37,5.02,12.6,29.3,57.8
mpdata,kzz,2,7,5.8,9.4,11.5,13.,14.1,14.9
mpdata,kzz,2,1,0.277,0.3,0.77,1.95,3.3,4.7
mpdata,kyy,2,7,5.8,9.4,11.5,13.,14.1,14.9
mpdata,kyy,2,1,0.277,0.3,0.77,1.95,3.3,4.7
mpdata,kxx,2,7,5.8,9.4,11.5,13.,14.1,14.9
mpdata,kxx,2,1,0.277,0.3,0.77,1.95,3.3,4.7
mpitemp,7,50.0,100.0,150.0,200.0,250.0,300.0
mpitemp,1,4.0,5.0,10.0,20.0,30.0,40.0
! Stainless steel (mat=2) 4..300k [data determined from CRYOCOMP 2.0]
mpdata,dens,1,1,8960.

mpdata,c,1,7,95.5,245.,323.,356.,374.,386.
mpdata,c,1,1,0.0896,0.14,0.85,7.27,26.6,59.
mpdata,kzz,1,1,0.001
mpdata,kyy,1,7,419.,339.,342.,350.,355.,358.
mpdata,kyy,1,1,57.1,71.4,142.,278.,384.,428.
mpdata,kxx,1,7,419.,339.,342.,350.,355.,358.
mpdata,kxx,1,1,57.1,71.4,142.,278.,384.,428.
mpitemp,1,4.0,5.0,10.0,20.0,30.0,40.0
! Helium (mat=5) 4..300k [data determined from HEPAK 3.3]
mpdata,dens,4,1,1150.

```

```

mptemp,7,10.0,15.0,20.0,30.0,40.0,50.0
mptemp,13,70.0,100.0,150.0,200.0,250.0,300.0
mpdata,kxx,5,1,0.0208,0.0219,0.0212,0.0179,0.0177,0.0183
mpdata,kxx,5,7,0.0191,0.0233,0.0273,0.0345,0.041,0.0472
mpdata,kxx,5,13,0.0586,0.0741,0.0973,0.1183,0.1378,0.1563
mpdata,kyy,5,1,0.0208,0.0219,0.0212,0.0179,0.0177,0.0183
mpdata,kyy,5,7,0.0191,0.0233,0.0273,0.0345,0.041,0.0472
mpdata,kyy,5,13,0.0586,0.0741,0.0973,0.1183,0.1378,0.1563
mpdata,kzz,5,1,0.0208,0.0219,0.0212,0.0179,0.0177,0.0183
mpdata,kzz,5,7,0.0191,0.0233,0.0273,0.0345,0.041,0.0472
mpdata,kzz,5,13,0.0586,0.0741,0.0973,0.1183,0.1378,0.1563
mpdata,c,5,1,338.5,494.0,1023.6,1187.3,867.0,738.1
mpdata,c,5,7,676.4,582.1,557.8,541.5,535.9,533.2
mpdata,c,5,13,531.1,530.0,529.6,529.4,529.4,529.4 ! c=cp/g [J/(N K)]
mpdata,visc,5,1,4.1e-6,3.6e-6,2.9e-6,2.4e-6,2.4e-6,2.5e-6
mpdata,visc,5,7,2.6e-6,3.2e-6,3.7e-6,4.7e-6,5.6e-6,6.4e-6
mpdata,visc,5,13,7.9e-6,9.8e-6,12.5e-6,15.2e-6,17.6e-6,19.9e-6
mpdata,dens,5,1,142.9,129.,102.1,59.44,41.34,32.87
mpdata,dens,5,7,27.76,16.51,12.05,7.93,5.94,4.76
mpdata,dens,5,13,3.4,2.39,1.6,1.2,0.96,0.8
tb,pflow,5
tbdata,1,0,1e4,5e4,1e5,5e5,1e6 ! Reynolds numbers
tbdata,7,64.0,0.0316,0.0212,0.0178,0.0119,0.010 ! Friction factor table
tbdata,13,0.0,0.023,0.8,0.3 ! Film coefficients

/com, REAL PROPERTIES
*if,choice,eq,1,then
massflow=msingle*9.81 ! [N/s] helium mass flow
*elseif,choice,eq,2
massflow=mserial*9.81 ! [N/s] helium mass flow
*elseif,choice,eq,3
massflow=mserial*9.81 ! [N/s] helium mass flow
*elseif,choice,eq,4
massflow=msingle*9.81 ! [N/s] helium mass flow
*else
*msg,info
WRONG CHOICE NUMBER
*endif
ahyd=3.14159*dhyd**2/4 ! [m] cross section area of cooling tube
*get,length,ELEM,2681,LENG ! length of first tube element
aconv=3.14*dhyd*length/4 ! [m2] convection area at nodal point
r,2,dhyd,ahyd,,9.81,,aconv
rmore,aconv,,massflow
allsel
fini

! ***** SOLUTION *****

```

```

antype,trans
n inlet=izl0+34 ! node on tube for helium inlet
*if,choice,eq,1,then
/com, SINGE TUBE COOLING
t inlet=tamb-tdiff ! [K] helium inlet temperature
dtimel=1800 ! time difference between samples
timel=0
izl0 = 384 ! number of co-sys points=96*4
/solution

izl0,jj,(izl0+1),temp ! hot temp. in section 1
*get,thot,node,(izl0+1),temp ! hot temp. in section 2 to 96
*do,jj,(izl0+2),(izl0+96*34),1
*get,thot,node,(izl0+1),temp ! hot temp. in section 1
timel=timel+dtimel
*do,jj,1,maxcnt
/com, start transient calculation
solve
allsel
outres,all,all
timel,10 ! set time=10s
d,n inlet,temp,t inlet ! set temperature at helium inlet
! perform static calculation (only first step)
tunif,tamb ! set uniform temperature
negit,30
nsubst,1,3,1
kbc,0
antype,trans
n inlet=izl0+34 ! node on tube for helium inlet
*if,choice,eq,1,then
/com, SERIAL TUBE COOLING
t inlet=tmin
*endif
*else
t inlet=(thot-tdiff)
*if,thot,ge,(tmin+tdiff),then
*endif
*enddo
*endif
thot=jj ! store most hottest point for calc.
thot=thotj ! store most hottest point for calc.
*if,thotj,ge,thot,then
*get,thotj,node,jj,temp ; hot temp. in section 2 to
*do,jj,(izl0+2),(izl0+96*34),1
*get,thot,node,(izl0+1),temp ! hot temp. in section 1
timel=timel+dtimel
*do,jj,1,maxcnt
/com, start transient calculation
solve
allsel
outres,all,all
timel,10 ! set time=10s
d,n inlet,temp,t inlet ! set temperature at helium inlet
! perform static calculation (only first step)
tunif,tamb ! set uniform temperature
negit,30
nsubst,1,3,1
kbc,0
antype,trans
n inlet=izl0+34 ! node on tube for helium inlet
*if,choice,eq,1,then
/com, SINGE TUBE COOLING
t inlet=tamb-tdiff ! [K] helium inlet temperature
dtimel=1800 ! time difference between samples
timel=0
izl0 = 384 ! number of co-sys points=96*4
/solution

```

```

kbc,0
nsubst,1,3,1
neqit,30
tunif,tamb
! perform static calulation (only first step)
d,ninlet1,temp,tinlet
d,ninlet2,temp,tinlet
time,10
outres,all,all
allsel
solve
/com, start transient calculation
*do,j,1,maxcnt
time1=time1+dtime1
*get,thot,node,(izl0+1),temp ! hot temp. in section 1
*do,jj,(izl0+2),(izl0+96*34),1
*get,thotj,node,jj,temp ! hot temp. in section 2 to 96
*if,thotj,ge,thot,then
nhot=jj
thot=thotj ! store most hottest point for calc.
*endif
*enddo
*if,thot,ge,(tmin+tdiff),then
tinlet=(thot-tdiff)
*else
tinlet=tmin
*endif
time,time1
d,ninlet1,temp,tinlet ! set temperature at helium inlet 1
d,ninlet2,temp,tinlet ! set temperature at helium inlet 2
allsel
solve
*msg,info,nhot,thot ! message of node and value of hot point
(nhot = %I), (thot = %G) [5]
*enddo
/com, ANTI-SERIAL TUBE COOLING
*elseif,choice,eq,3
ninlet1=418 ! node on tube for helium inlet
ninlet2=3648 ! node on tube for helium inlet
antype,trans
kbc,0
nsubst,1,3,1
neqit,30
tunif,tamb
! perform static calulation (only first step)
d,ninlet1,temp,tinlet
d,ninlet2,temp,tinlet

```

```

*do,jj,(izl0+2),(izl0+96*34),1
*get,tcold,node,(izl0+1),temp ! cold temp. in section 1
*do,j,1,maxcnt
/com, start transient calculation
solve
allsel
outres,all,all
time,10 ! set time=10s
d,inlet,temp,tinlet ! set temperature at helium inlet
; perform static calculation (only first step)
tunif,temp ! set uniform temperature
nedit,60
nsubs,1,3,1
kbc,0
antype,trans
tinlet=tmin+tdiff ; [K] helium inlet temperature
ninel=izl0+34 ! node on tube for helium inlet
*elset,choice,eq,4
/com, WARMING-UP (SINGLE TUBE)
*enddo
(nhot = %I), (thot = %G) [8]
*msg,info,nhot,thot ; message of node and value of hot point
solve
allsel
d,inlet2,temp,tinlet ! set temperature at helium inlet 2
d,inlet1,temp,tinlet ! set temperature at helium inlet 1
time,timed
*endif
tinlet=tmin
*tinlet=(thot-tdiff)
*if,thot,ge,(tmin+tdiff),then
*enddo
*endif
thot=thotj ! store most hottest point for calc.
nhot=j
*if,thotj,ge,thot,then
*get,thotj,node,jj,temp ! hot temp. in section 2 to 96
*do,jj,(izl0+2),(izl0+96*34),1
*get,thot,node,(izl0+1),temp ! hot temp. in section 1
time1=time1+dtimel
*do,j,1,maxcnt
/com, start transient calculation
solve
allsel
outres,all,all
time,10

```

```

*get,tcoldj,node,jj,temp ! cold temp. in section 2 to 96
*if,tcoldj,le,tcold,then
  ncold=jj
  tcold=tcoldj ! store most hottest point for calc.
*endif
*enddo
*if,tcold,le,(tamb-tdiff),then
  tinlet=(tcold+tdiff)
*else
  tinlet=tamb
*endif
! variable time steps
*if,tcold,le,20,then
  dtime1=60
*else
  dtime1=1800
*endif
  time1=time1+dtime1
  time,time1
d,ninlet,temp,tinlet ! set temperature at helium inlet
allsel
solve
*msg,info,ncold,tcold ! message of node and value of hot point
(ncold = %I), (tcold = %G) [12]
*enddo
*endif
save
fini

```

Das Postprocessing der Ergebnisse erfolgt mit Hilfe zweier Batch-Dateien. MFPOST1.DAT generiert das Temperaturprofil entlang der MF-Spule zu bestimmten Zeitaugenblicken. Die Datei MFPOST26.DAT erstellt ein Diagramm, in dem der Temperaturverlauf über die Zeit in ausgewählten Punkten während der Abkühlung bzw. der Erwärmung der MF-Spule verfolgt werden kann.

```

/com, MFPOST1.DAT BATCH TO DISPLAY TEMPERATURE PROFILE
/com, 18/01/1998 grk/IPP (last update: 05/05/1998)
fini
/post1
/view,1,1,1,1
/plopts,leg1,on
/plopts,leg2,on
/plopts,leg3,on
/plopts,vers,on
/plopts,info,on
set,21 ! time=36000 = 10h
esel,s,mat,,1 ! Copper
plnsol,temp

```

